



ISTITUTO NAZIONALE
DI GEOFISICA E VULCANOLOGIA



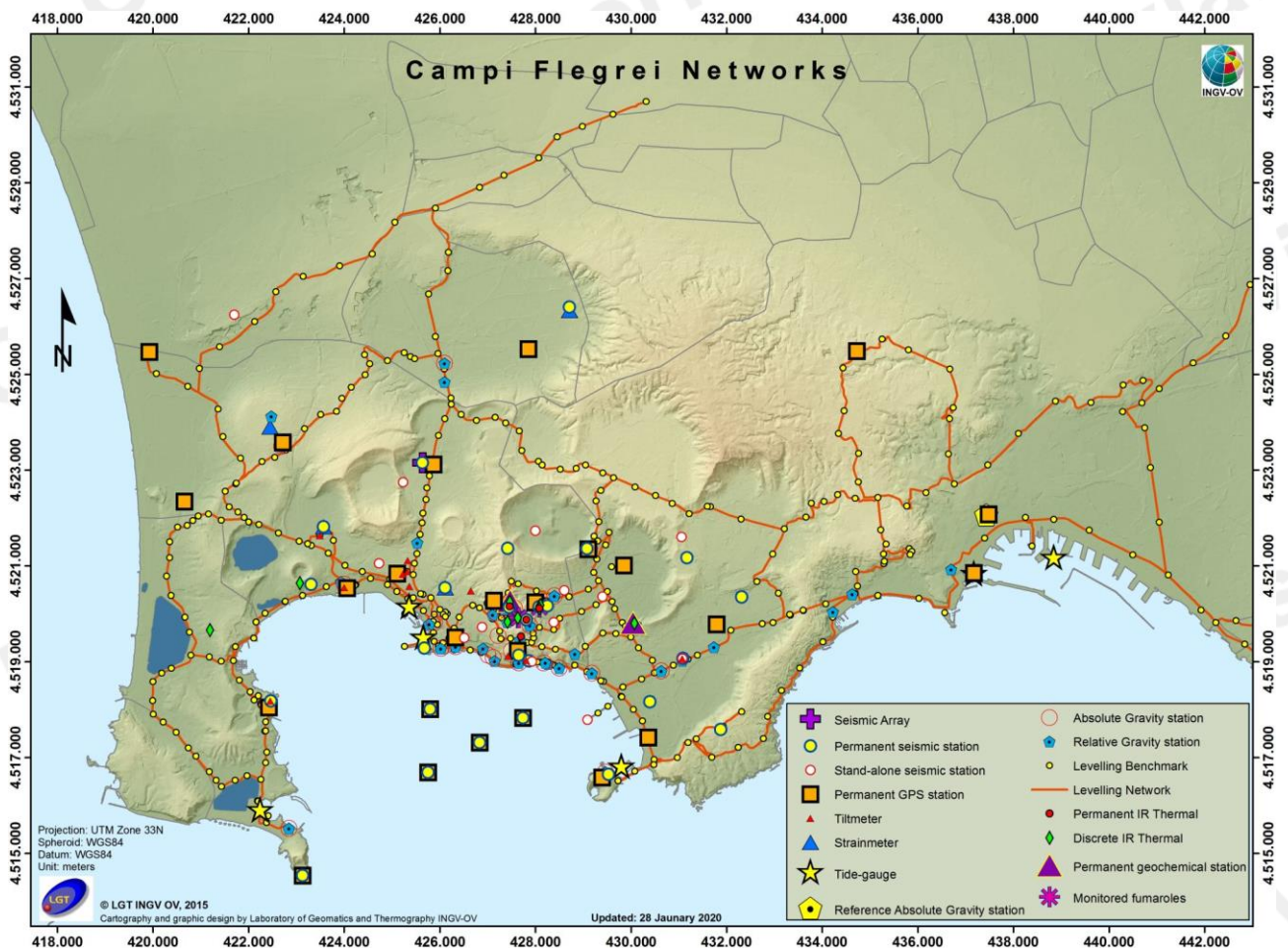
PROTEZIONE CIVILE
Presidenza del Consiglio dei Ministri
Dipartimento della Protezione Civile

Bollettino di Sorveglianza

CAMPI FLEGREI

MARZO 2022

A cura della Sezione di Napoli | OSSERVATORIO VESUVIANO



1. SISMOLOGIA

La Rete Sismica Permanente dei Campi Flegrei è mostrata in Figura 1.1 ed è costituita da 26 stazioni terrestri e marine. L'infrastruttura marina permanente di monitoraggio e ricerca multi-parametrica sperimentale che opera nel Golfo di Pozzuoli, denominata MEDUSA (<http://portale.ov.ingv.it/medusa/>), è costituita da 4 boe geodetiche (CFBA, CFBB, CFBC e CFSB) ed altrettanti moduli sottomarini equipaggiati con strumentazione geofisica, oceanografica e multi-disciplinare.

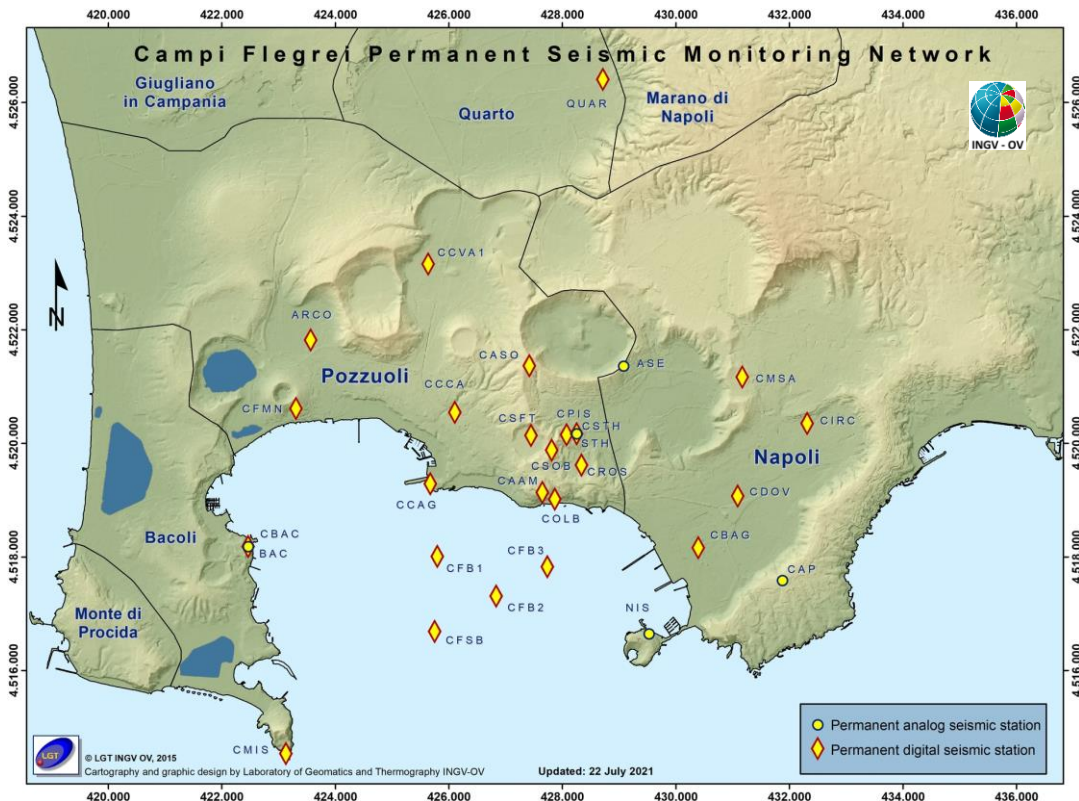


Figura 1.1 - Mappa della Rete Sismica Permanente dei Campi Flegrei.

Nel corso del mese di marzo 2022, ai Campi Flegrei, sono stati registrati 339 terremoti ($M_{dmax}=3.6\pm 0.3$; evento del 29/03/2022 alle ore 17:45 UTC) (Fig. 1.2).

Dalle 14:14 UTC del 16/03/2022 è stato registrato uno sciame sismico costituito da 37 terremoti con $-1.1 \leq M_d \leq 3.5 (\pm 0.3)$, localizzati nell'area di Solfatara-Pisciarelli.

Il terremoto di $M_d=3.6(\pm 0.3)$ del 29/03/2022 alle 17:45 UTC risulta, attualmente, l'evento di maggiore energia registrato a partire dalla ripresa di questa fase bradisismica iniziata nel 2005, ma è anche l'evento più energetico registrato dal 1985.

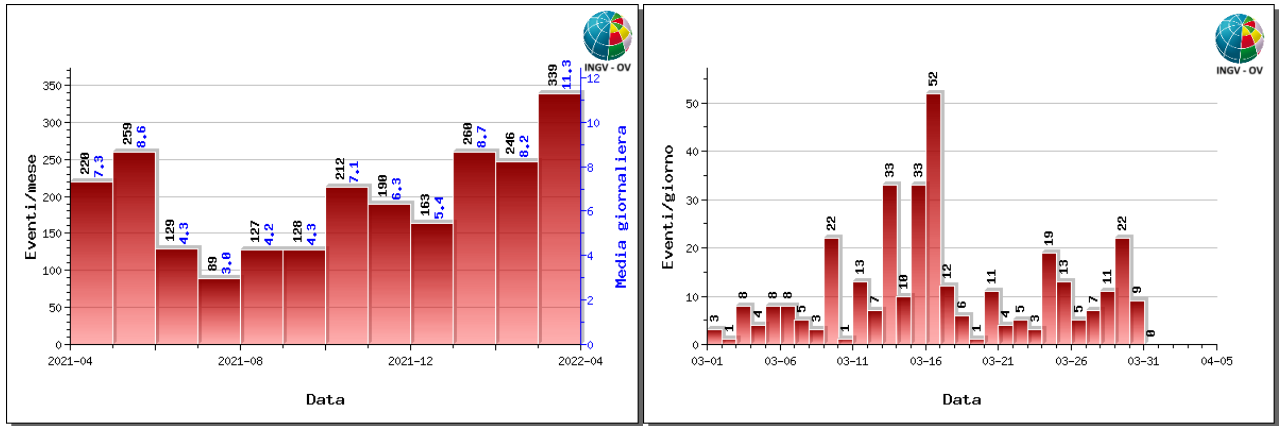


Figura 1.2 - A sinistra numero di eventi registrati ai Campi Flegrei nel corso degli ultimi 12 mesi (in totale 2369), mentre a destra quelli avvenuti nell'ultimo mese (in totale 339).

È stato possibile determinare i parametri ipocentrali di 195 degli eventi registrati, le cui localizzazioni sono mostrate in Figura 1.3.

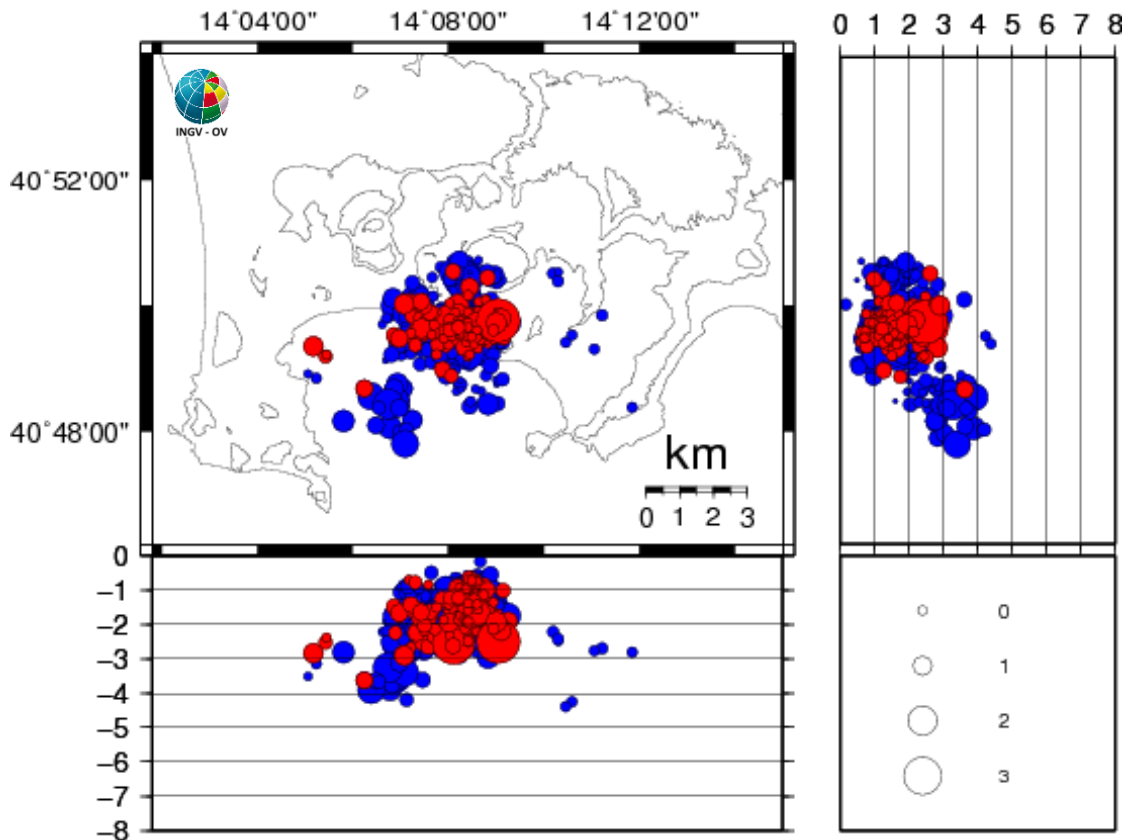


Figura 1.3 - Localizzazioni ipocentrali ai Campi Flegrei nel corso degli ultimi 12 mesi (in blu) e dell'ultimo mese (in rosso). La dimensione dei simboli è proporzionale alla magnitudo, come indicato nel riquadro in basso.

Non si evidenziano andamenti significativi negli altri parametri sismologici (Figg. 1.2-1.6).

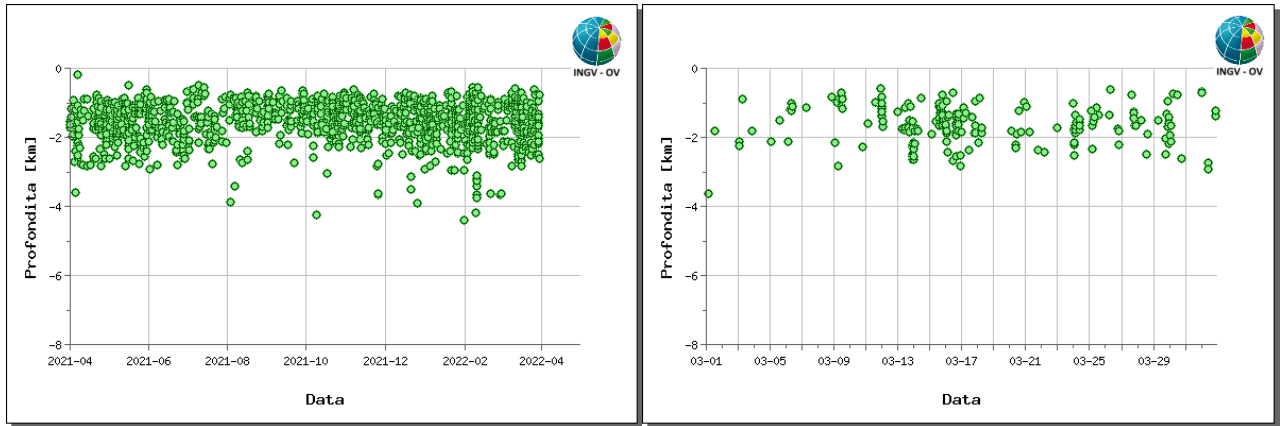


Figura 1.4 - Profondità ipocentrali degli eventi registrati ai Campi Flegrei nel corso degli ultimi 12 mesi (a sinistra) e dell'ultimo mese (a destra).

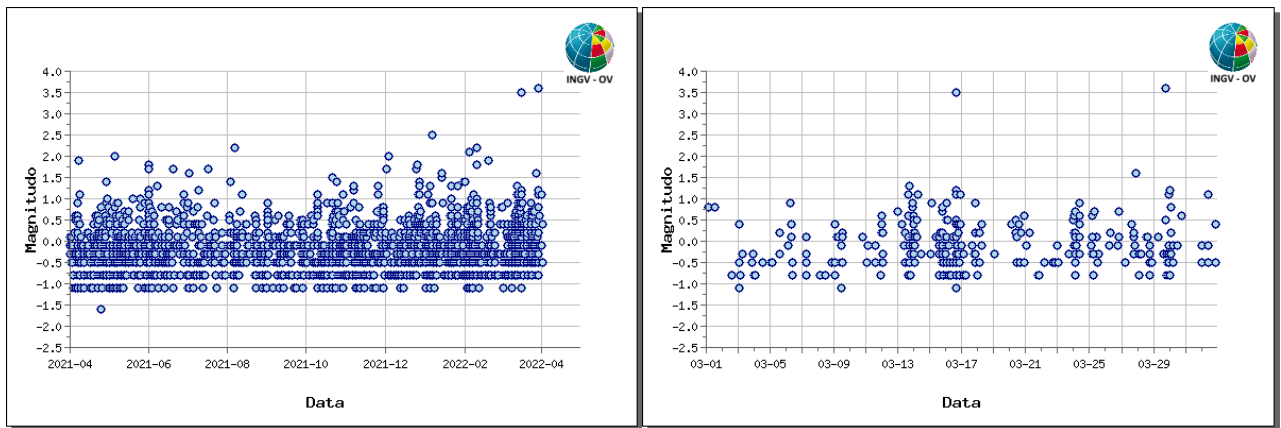


Figura 1.5 - Magnitudo degli eventi registrati ai Campi Flegrei nel corso degli ultimi 12 mesi (a sinistra) e dell'ultimo mese (a destra).

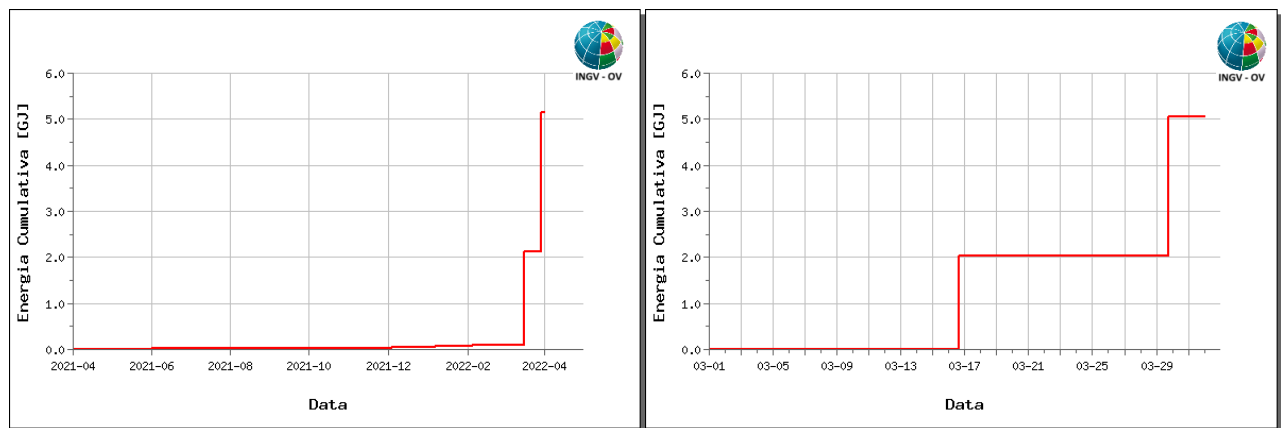


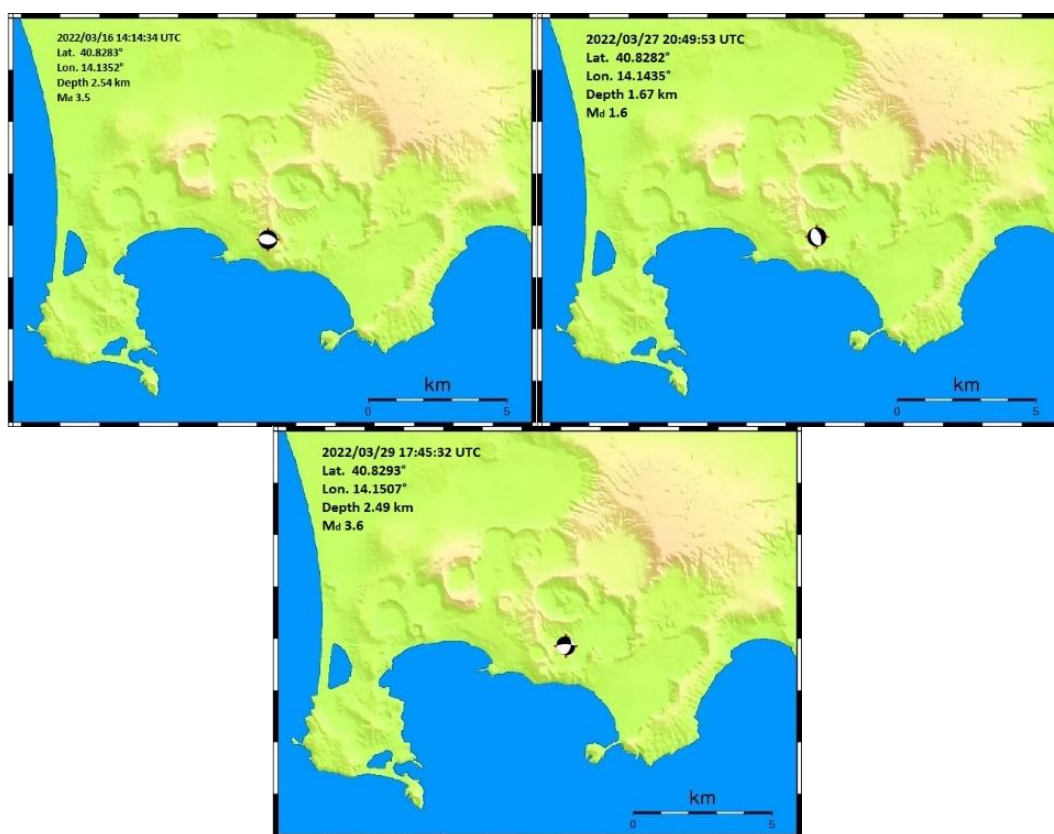
Figura 1.6 - Rilascio cumulativo di energia sismica ai Campi Flegrei nel corso degli ultimi 12 mesi (a sinistra) e dell'ultimo mese (a destra).

In Tabella 1.1 è rappresentato il numero di eventi registrati divisi per classi di magnitudo e le relative percentuali.

Tabella 1.1 – Riepilogo mensile della sismicità registrata ai Campi Flegrei divisa per classi di magnitudo e relative percentuali.

Numero totale terremoti: 339		$M_{dmax} = 3.6 \pm 0.3$
Numero terremoti con $M_d < 0.0$	178	(52.51%)
Numero terremoti con $0.0 \leq M_d < 1.0$	101	(29.79%)
Numero terremoti con $1.0 \leq M_d < 2.0$	9	(2.65%)
Numero terremoti con $2.0 \leq M_d < 3.0$	0	(0.00%)
Numero terremoti con $M_d \geq 3.0$	2	(0.59%)
Numero terremoti con M_d N.D.	49	(14.45%)

L'analisi dei meccanismi focali degli eventi più energetici del mese di marzo 2022 (Tab. 1.2) mostra, per tutti e tre gli eventi, soluzioni associabili a meccanismi di tipo normale (Fig. 1.7).

**Figura 1.7** – Localizzazione e meccanismi focali degli eventi riportati in Tabella 1.2**Tabella 1.2** – Parametri ipocentrali dei terremoti di magnitudo ≥ 1.5 registrati ai Campi Flegrei nel mese di marzo 2022.

Data UTC	M_d	Lat N	Long E	Prof. (km)
2022/03/16 14:14:34.80	3.5	40.8283	14.1352	2.54
2022/03/27 20:49:53.46	1.6	40.8282	14.1435	1.67
2022/03/29 17:45:32.36	3.6	40.8293	14.1507	2.49

In figura 1.8 sono rappresentati gli andamenti dei principali parametri sismologici a partire dal 2005.

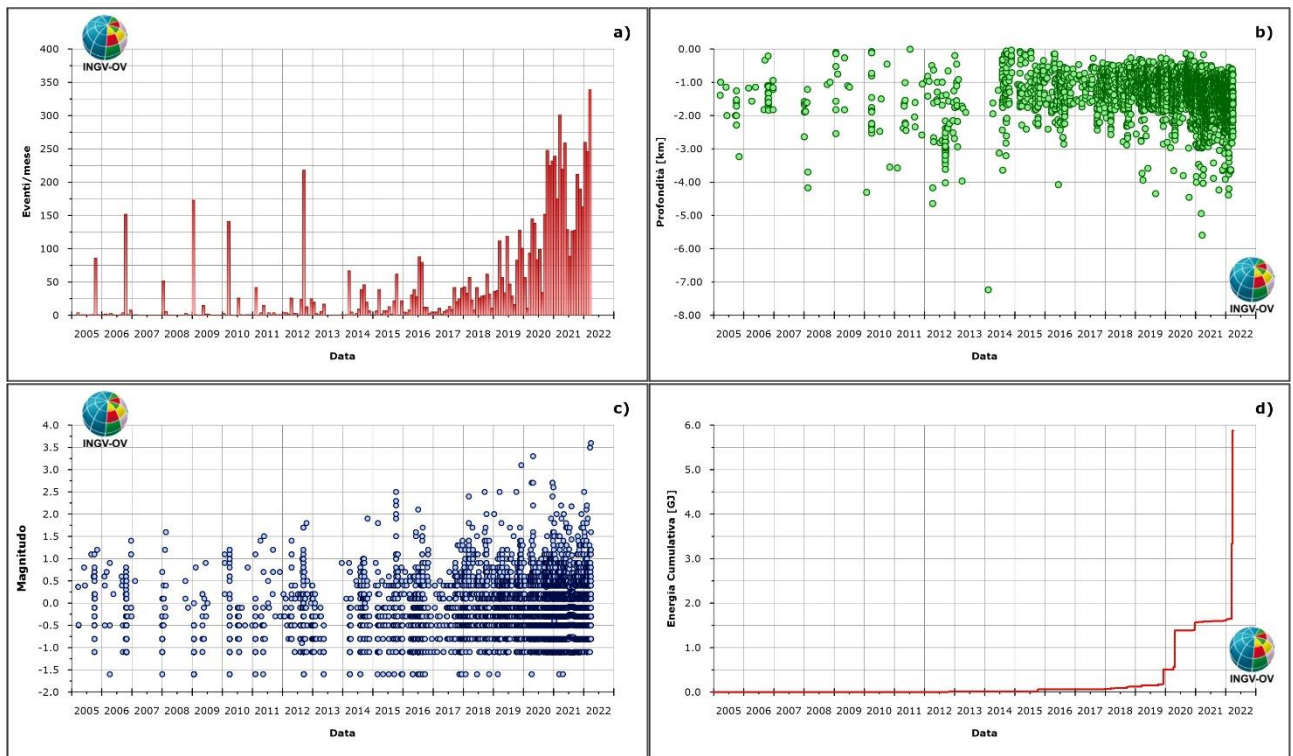


Figura 1.8 - Andamento dei principali parametri sismologici a partire dal 2005: a) frequenza di accadimento; b) profondità ipocentrali; c) magnitudo; d) energia cumulativa.

In figura 1.9 è rappresentata la frequenza di accadimento dei terremoti registrati ai Campi Flegrei dal 1983 e la relativa energia cumulativa.

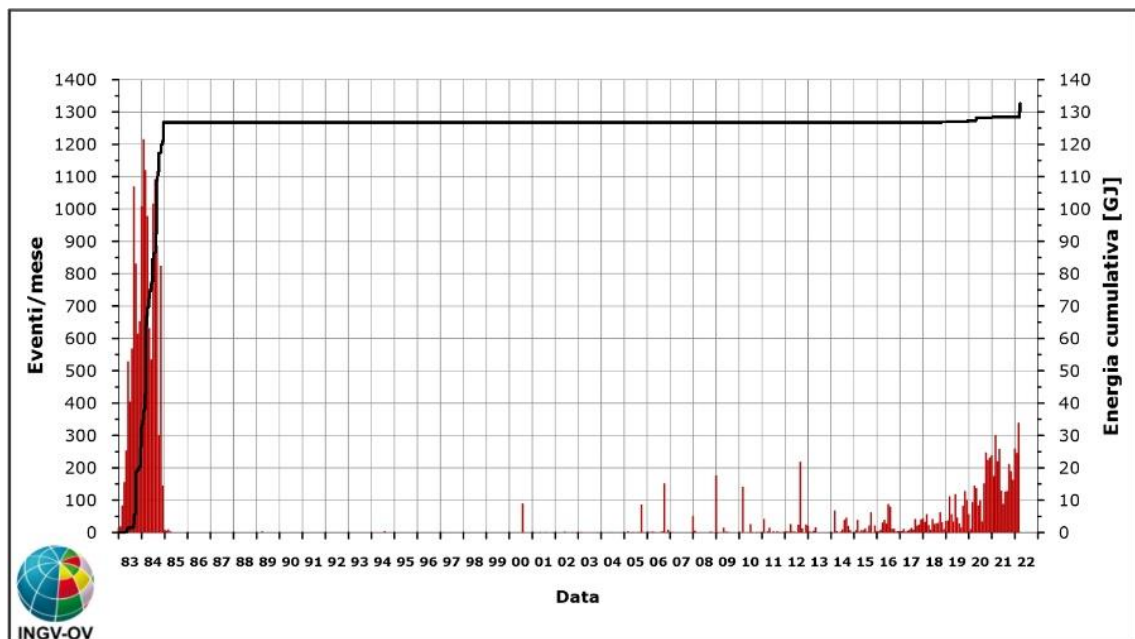


Figura 1.9 – Frequenza di accadimento dei terremoti registrati ai Campi Flegrei dal 1983. La linea nera rappresenta l'energia cumulativa.

2. DEFORMAZIONI DEL SUOLO

2.1 GPS

La Rete GPS permanente dei Campi Flegrei è costituita da 25 stazioni terrestri e marine (Figura 2.1.1). L'infrastruttura marina permanente di monitoraggio e ricerca multi-parametrica sperimentale che opera nel Golfo di Pozzuoli, denominata MEDUSA (<http://portale.ov.ingv.it/medusa/>), è costituita da 4 boe geodetiche (CFBA, CFBB, CFBC e CFSB) ed altrettanti moduli sottomarini equipaggiati con strumentazione geofisica, oceanografica e multi-disciplinare.

Il valore medio della velocità di sollevamento nell'area di massima deformazione da dicembre 2021 è di circa 13 ± 2 mm/mese, in lieve aumento rispetto ai valori di 10 ± 2 mm/mese registrati nell'intervallo luglio - novembre 2021. Il valore attuale è simile a quello registrato nel precedente periodo settembre 2020- giugno 2021.

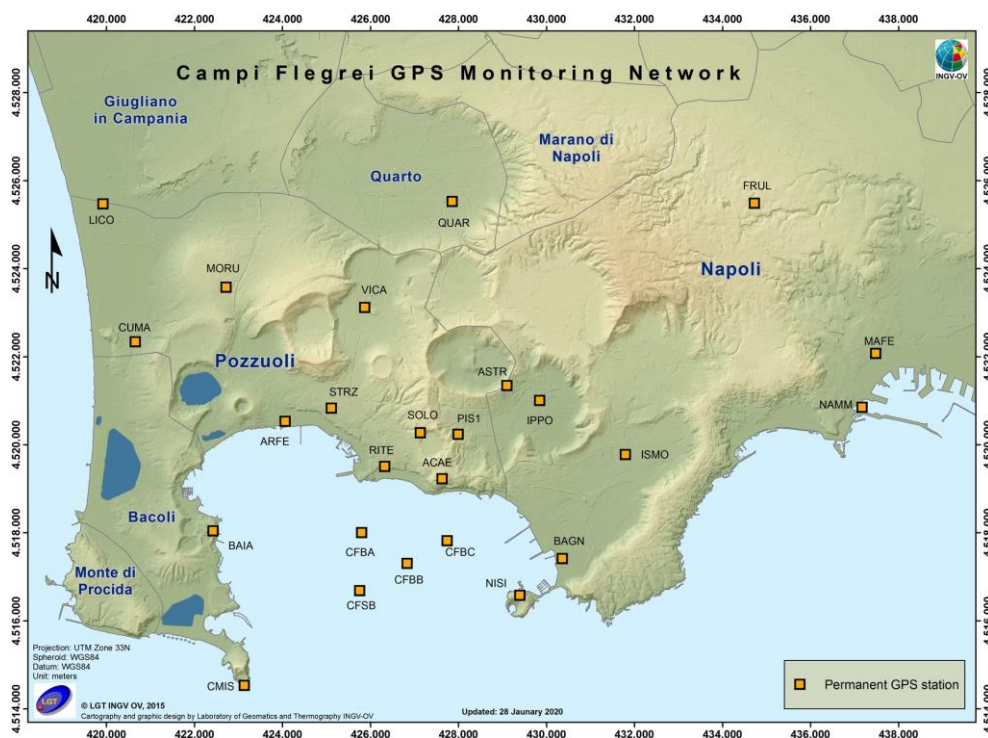


Figura 2.1.1 - Rete GPS Permanente dei Campi Flegrei.

Il sollevamento totale registrato alla stazione GPS di RITE è di circa 93.5 cm da novembre 2005, inizio dell'attuale fase di *unrest* (Fig. 2.1.2). Da gennaio 2016 a oggi il sollevamento nell'area di massima deformazione è di circa 60 cm (Fig. 2.1.3).

La figura 2.1.3 riporta le serie temporali delle variazioni in quota di alcune stazioni GPS ubicate nella zona di massima deformazione dei Campi Flegrei.

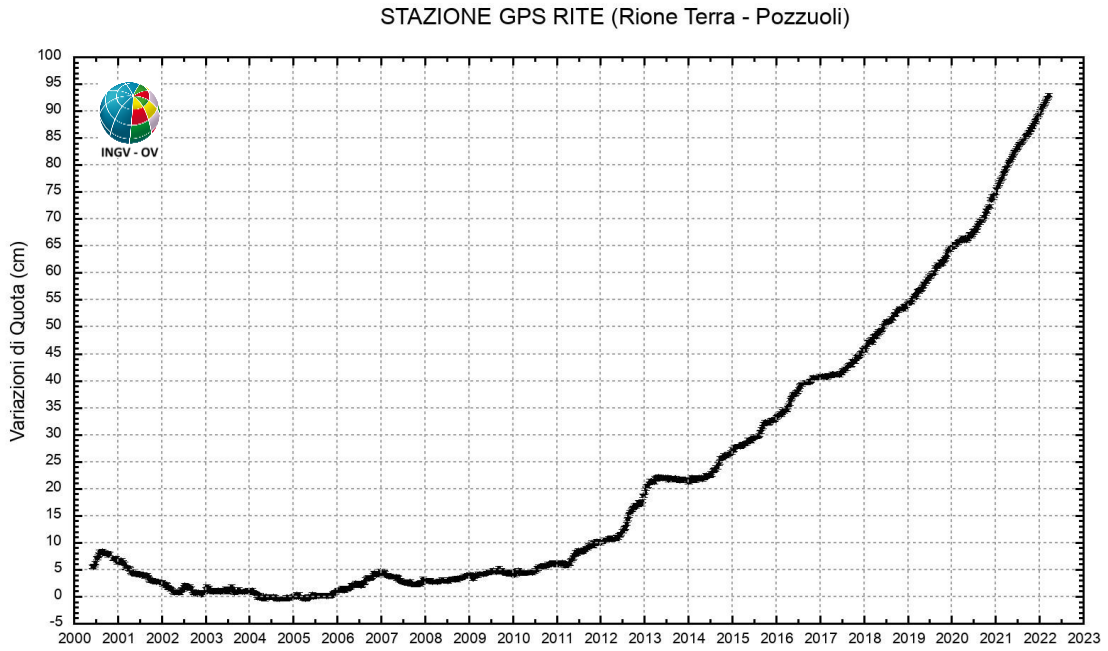


Figura 2.1.2 - Serie temporale delle variazioni settimanali in quota della stazione di RITE (Pozzuoli – Rione Terra) dal 2000 a marzo 2022.

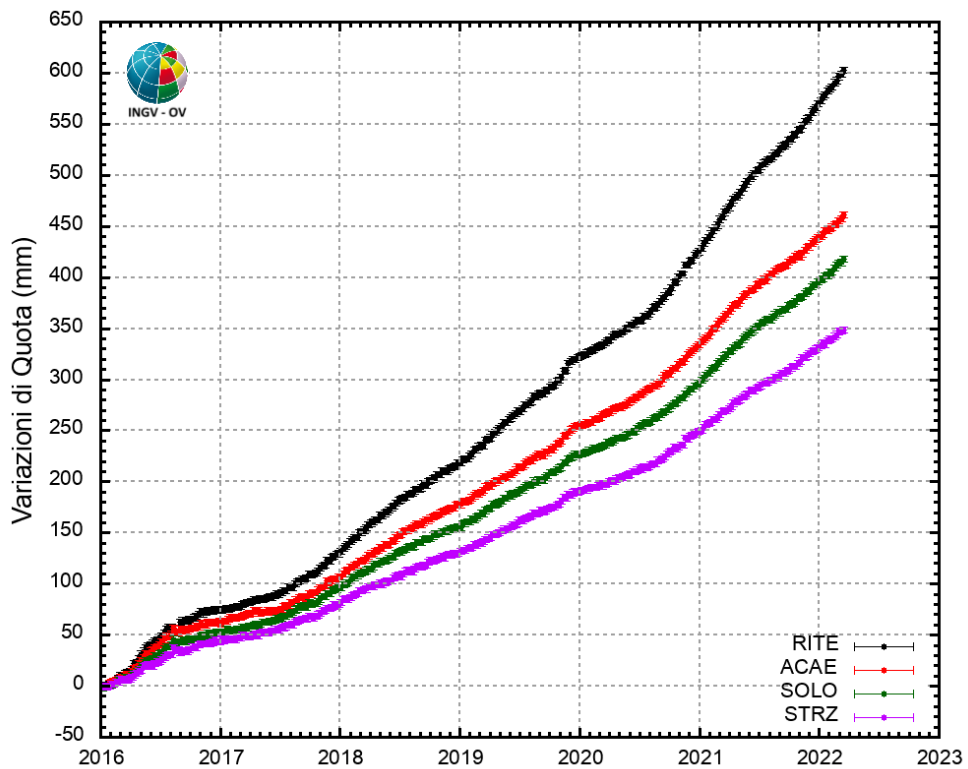


Figura 2.1.3 - Serie temporale delle variazioni in quota della stazione di RITE (Pozzuoli - Rione Terra), ACAE (Accademia Aeronautica), SOLO (Solfatara) e STRZ (Pozzuoli - Cimitero) da gennaio 2016 a marzo 2022.

In Figura 2.1.4 è riportata la mappa dei vettori degli spostamenti orizzontali registrati alle stazioni CGPS ai Campi Flegrei dal 2016.

Si conferma la forma radiale del campo di deformazione con la caratteristica forma a campana, simile a quelle già individuate nelle precedenti fasi del sollevamento, e la conseguente stabilità della sorgente di deformazione localizzata nel Golfo di Pozzuoli a qualche centinaio di metri a sud della stazione di RITE.

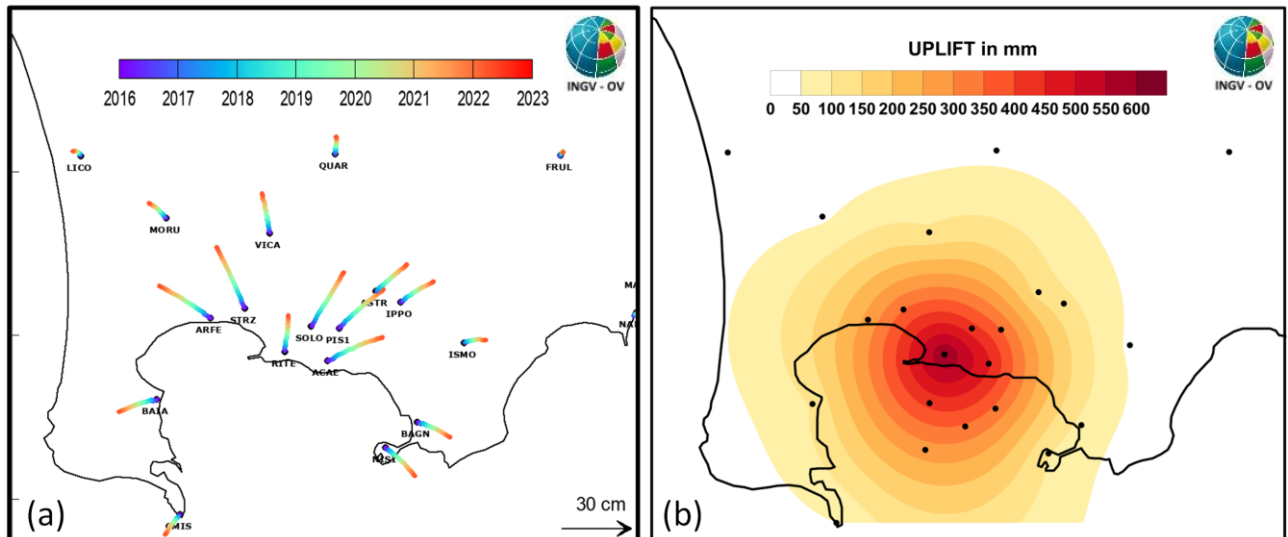


Figura 2.1.4 - Mappa degli spostamenti GPS orizzontali (a) e verticali (b) registrati nell'area flegrea da gennaio 2016 a marzo 2022.

Le deformazioni verticali del fondale marino della caldera flegrea registrate dal sistema MEDUSA da aprile 2016 a marzo 2022 sono riportate in Figura 2.1.5. Alla stazione CFBA il sollevamento totale è di circa 40 cm.

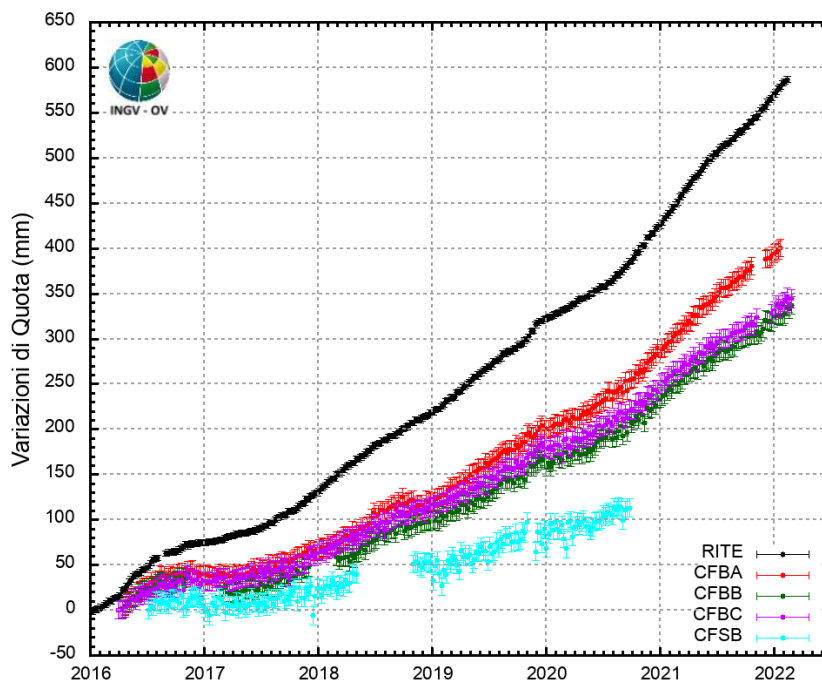


Figura 2.1.5 – Serie temporali delle variazioni in quota delle stazioni GPS del sistema MEDUSA nell'intervallo aprile 2016 – marzo 2022.

2.2 Tiltmetria

La Rete di Monitoraggio delle inclinazioni del suolo dei Campi Flegrei consiste di 10 stazioni di cui 4 equipaggiate con sensori analogici di superficie (BAI, SLF, OLB, CSO), 3 con tiltmetri analogici da pozzo (PSC, ARC, TOI installati da 1 a 7 m di profondità) e 3 con sensori digitali da pozzo (CMP, ECO, HDM installati a 25 m di profondità) (Fig. 2.2.1).

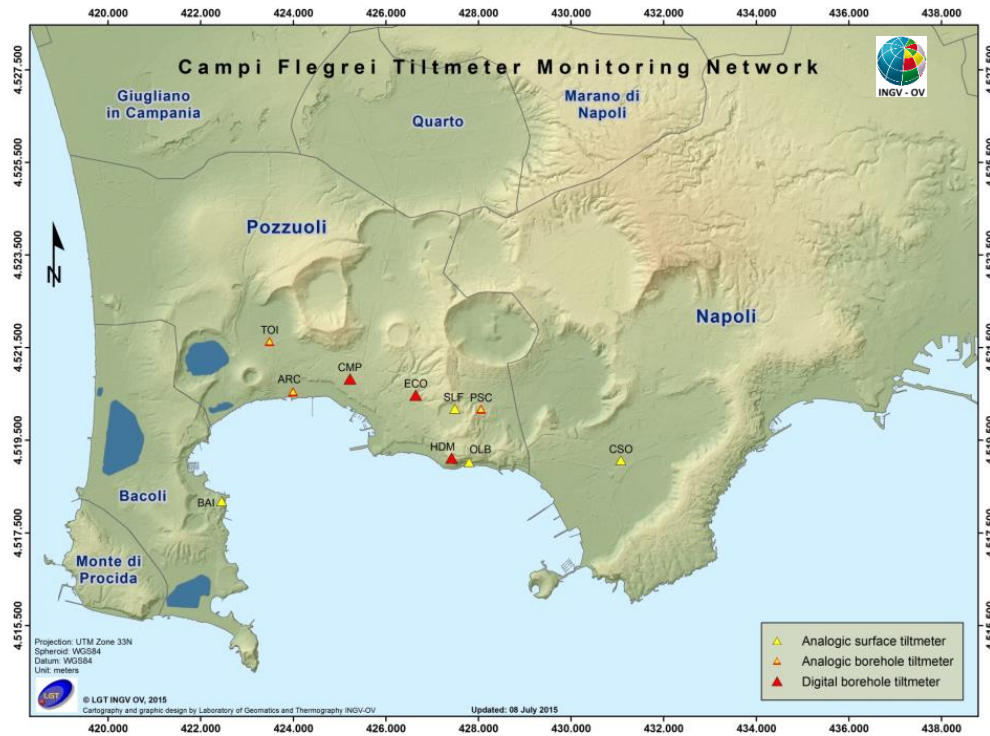


Figura 2.2.1 – Rete Tiltmetrica dei Campi Flegrei.

La variazione tiltmetrica osservata ai Campi Flegrei nel 2022 segue una simmetria quasi radiale ed è caratterizzata da un pattern polarizzato lungo 2 direzioni, NNW ed ENE-NE, generato dal campo di deformazione che interessa l'area (Fig. 2.2.2).

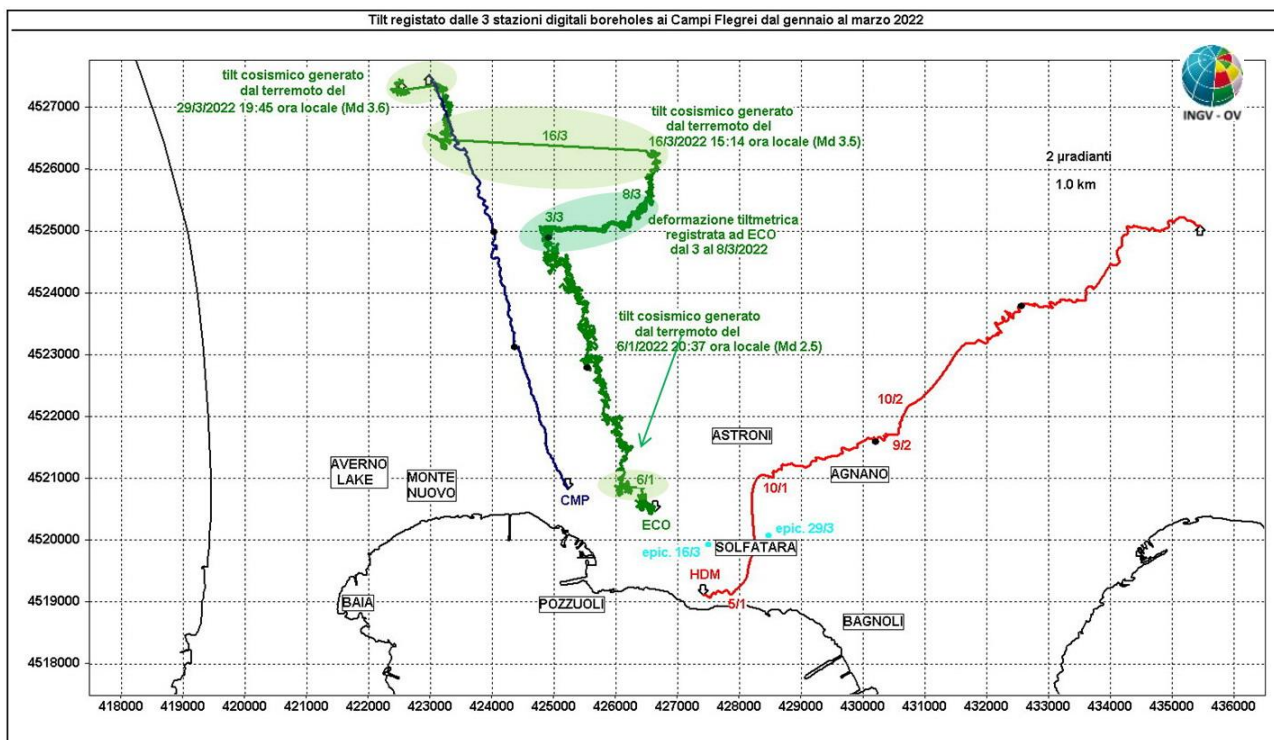


Figura 2.2.2 - Pattern tiltmetrico osservato ai Campi Flegrei. Per comodità di rappresentazione grafica e per una interpretazione più agevole, sono riportate solo le 3 stazioni “borehole” con sensori ubicati a 25 m di profondità. Il lato di ogni maglia del reticolo equivale a 2 μ radianti o 1.0 km. Le date riportate sui segnali indicano le variazioni tiltmetriche osservate più significative mentre le aree in colore evidenziano una deformazione tiltmetrica registrata ad ECO agli inizi di marzo e 3 tilt cosmici verso W registrati sempre ad ECO, in corrispondenza di altrettanti terremoti di magnitudo maggiore di 2.4.

La deformazione relativa a ogni sito-stazione è rappresentata con segmenti orientati di colore diverso; l’origine di ogni vettore tilt è siglata con il nome del sito stesso ed evidenziata con una freccia puntata verso il basso mentre l’estremo libero è indicato con una freccia puntata verso l’alto. Il verso di ogni vettore indica settori di crosta in abbassamento ed è univocamente definito dal suo estremo libero.

Nella Tabella seguente sono riportate, per le stazioni digitali, la variazione d’inclinazione del suolo, con la relativa direzione di tilting, nonché quella termica registrata a fondo pozzo (\approx -25 m dal p.c.) acquisite nell’anno in corso.

Sito	Inclinazione e direzione	Temperatura
Stazione ECO (89 m s.l.m.)	16.1 μ radianti a NNW	0.02 °C
Stazione CMP (62 m s.l.m.)	14.1 μ radianti a NNW	-0.01 °C
Stazione HDM (112 m s.l.m.)	20.0 μ radianti a NE	0.00 °C

In Figura 2.2.3 sono riassunti gli andamenti delle componenti tiltmetriche (filtrate dalle periodicità giornaliere) e termica registrate da ognuna delle 3 stazioni borehole.

Per evidenziare la continuità dei segnali, il periodo di tempo rappresentato parte dal 1° gennaio 2021; poiché, inoltre, i segnali acquisiti rappresentano la variazione di tilt, sono stati tutti azzerati a partire da quella data.

Componenti NS del tilt: tutte mostrano un trend di inclinazione verso N e quindi un sollevamento del suolo a S delle stesse. Il 5/1 HDM registra una inclinazione verso N e tale fenomeno si ripete il 9/2 e il 14/3.

Componenti EW del tilt: coerentemente all'uplift HDM si inclina ad E mentre CMP si inclina a W. Il trend di ECO continua invece ad essere parallelo a quello di CMP. Dal 3 fino all' 8/3 ECO subisce un *tilting reversal* in direzione E, mentre il 16/3 ed il 29/3 subisce 2 tilt cosmici verso W.

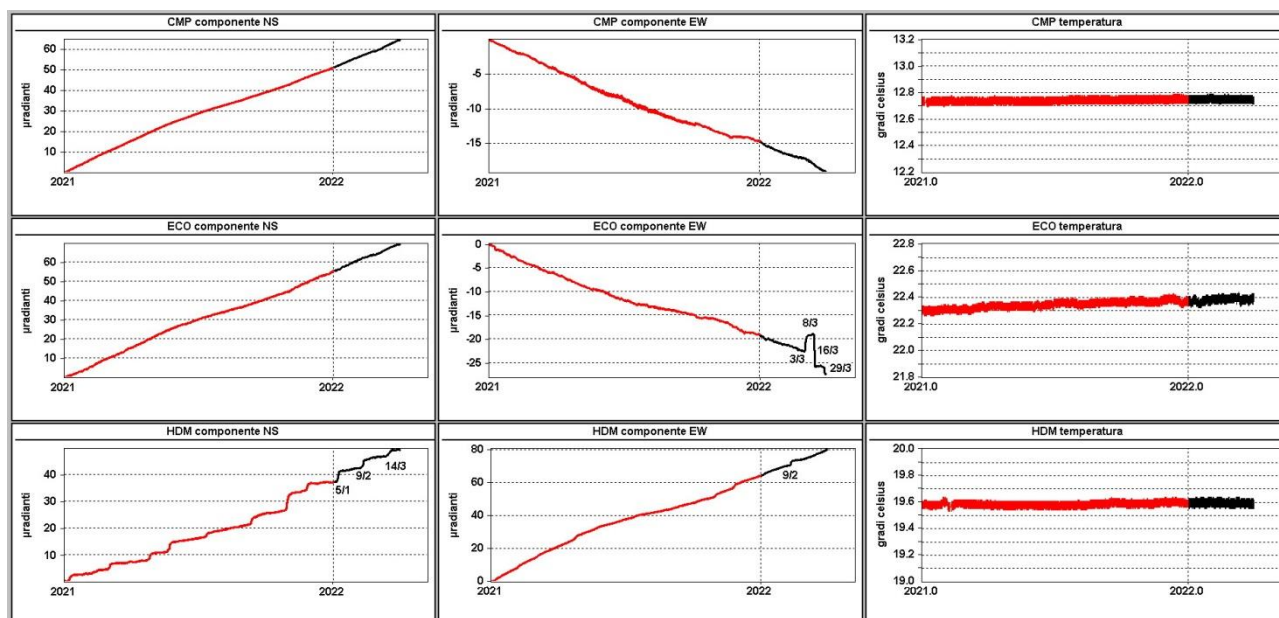


Figura 2.2.3 – Serie temporali dei segnali registrati a partire dal 2021 dalle 3 stazioni “borehole” della rete flegrea ordinate dal basso verso l’alto secondo la latitudine. Le prime 2 colonne riportano le componenti NS ed EW in μ radianti i cui valori di tilt crescenti nel tempo indicano rispettivamente la variazione di inclinazione del suolo a N e ad E, mentre la terza colonna riporta la temperatura in °C registrata da ogni sensore. In rosso sono riportati i segnali relativi al 2021 mentre in nero sono rappresentati quelli registrati nel 2022.

La cinematica che caratterizza i 3 siti è riassunta vettorialmente nel plot di Fig. 2.2.2 in cui le curve in colore rappresentano la variazione tiltmetrica progressiva registrata ad ogni sito.

La stazione ECO ha registrato dal 3/3 una deformazione tiltmetrica che ha iniziato a ridursi dal 8/3 per poi scomparire del tutto. Tale inclinazione del suolo, polarizzata in direzione E, ha interessato anche la stazione HDM.

Il terremoto del 16 marzo, con epicentro 1 km a SE di ECO, ha prodotto su tale stazione un tilt cosmico permanente verso W di 7.5 μ radianti mentre quello del 29 marzo, con epicentro ad 1.85 km a ESE di ECO, ha generato un tilt cosmico verso W di 1.1 μ radianti.

Nella successiva figura vengono riproposti i segnali registrati nei primi 3 mesi dell’anno in corso per maggiore chiarezza ma anche per evidenziare meglio la risposta dei tiltmetri sia al campo di deformazione indotto dalla fase di unrest che agli effetti indotti dai 2 terremoti di maggiore magnitudo registrati in tale periodo (Fig. 2.2.4).

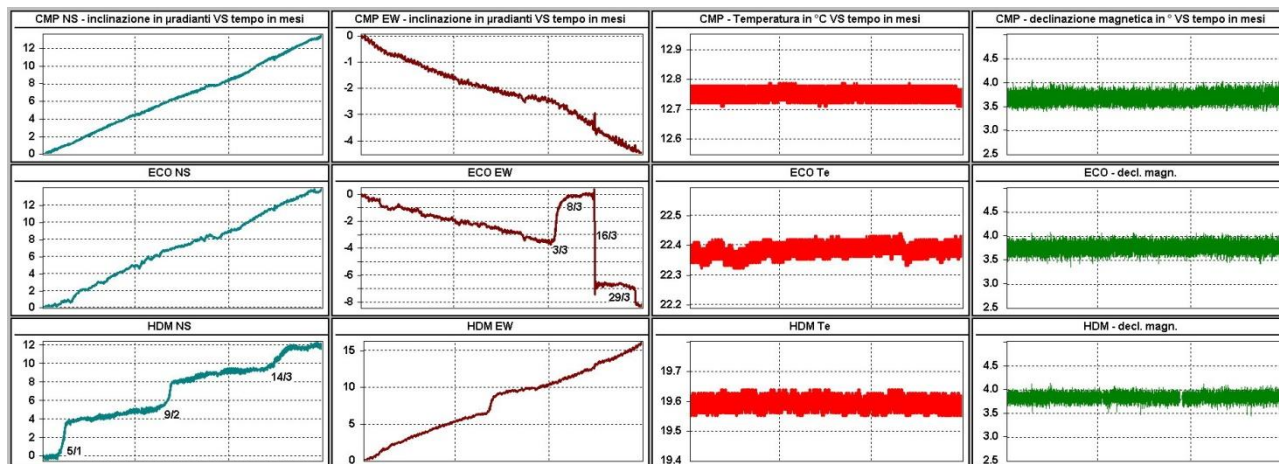


Figura 2.2.4 - Segnali registrati nel 2022 dalle 3 stazioni “borehole” della rete flegrea. Le prime 2 colonne riportano le componenti NS ed EW in μ radianti, la terza colonna riporta le temperature in $^{\circ}$ C registrate da ogni sensore ed infine l’ultima colonna rappresenta la declinazione magnetica in gradi registrata dai sensori Lily.

Si osservano molto bene i 3 incrementi di tilt del 5/1, 9/2 e 14/3 su HDM NS, il tilting reversal del 3/3 ad ECO EW ed i due tilt cosmici permanenti del 16 e 29/3 sempre ad ECO EW.

2.3 Mareometria

N.B. Nel presente Bollettino non sono riportate le informazioni relative alla Mareometria dei Campi Flegrei in quanto, a partire dal mese di giugno 2021, è in atto una riorganizzazione dell’intera Rete Mareografica che verrà inserita a pieno titolo nelle infrastrutture di monitoraggio marino in corso di potenziamento.

Appena completata la nuova organizzazione, i contributi relativi alla Rete Mareografica torneranno ad essere presenti nei Bollettini di Sorveglianza.

2.4 Gravimetria

Nel mese di febbraio 2022 è stata svolta una nuova campagna di misure gravimetriche relative, nell’area dei Campi Flegrei. Le misure sono state eseguite su 35 vertici dell’intera rete (Figura 2.4.1), collegati alla stazione gravimetrica assoluta di Napoli (Largo San Marcellino), assunta come riferimento. Per problemi legati all’accessibilità e alla qualità del sito sono state eliminatei i vertici di “Quarto Chiesa S. Pietro e Paolo” e di “Via Campana”.

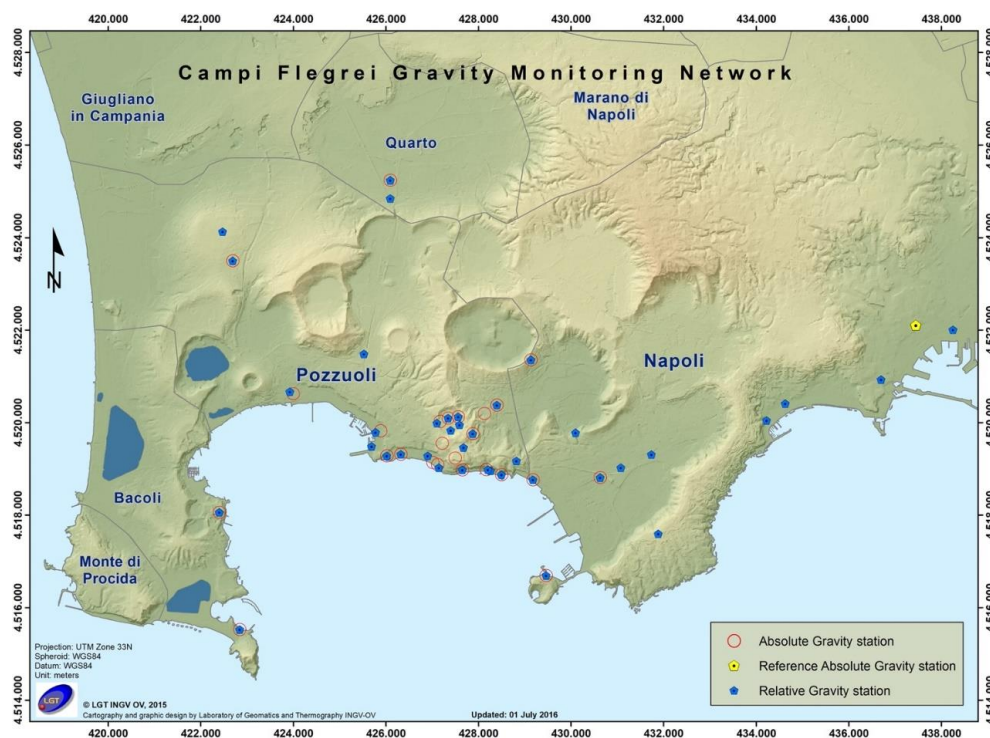


Figura 2.4.1 - Vertici della rete gravimetrica dell'OV-INGV (www.ov.ingv.it). Il punto giallo, che rappresenta il caposaldo assoluto di riferimento, è localizzato presso il complesso monumentale di Largo San Marcellino (Napoli).

Le misure gravimetriche relative sono state eseguite con il gravimetro LaCoste & Romberg modello D numero 85 (LCR-D85). Le misure sono state corrette per gli effetti di variazione della marea, della pressione atmosferica e della deriva strumentale. La successiva compensazione degli errori di chiusura è stata eseguita su un numero di sei circuiti concatenati dell'intera rete, ottenendo un errore medio sulla rete pari a $\pm 10 \mu\text{Gal}$ ($1 \mu\text{Gal} = 10^{-8} \text{m/s}^2$, equivalente a 10^{-7}g). I valori sono stati confrontati con quelli ottenuti (con le medesime procedure di calcolo) nella precedente campagna di ottobre 2021, calcolando le differenze dei valori di g (Δg), tra i diversi vertici gravimetrici, tra il 2022 e il 2021, rispettivamente. Il campo variometrico ottenuto risulta fortemente correlato alle variazioni di quota della caldera dei Campi Flegrei (sollevamento), registrate tra ottobre 2021 e febbraio 2022, con il massimo valore pari a circa 4.5 cm alla stazione GPS RITE di Pozzuoli. I valori negativi che risentono del campo deformativo si registrano chiaramente nella zona di maggiore sollevamento della caldera, tra Pozzuoli e Solfatara, mentre quelli positivi si distribuiscono ai suoi bordi. È stato quindi calcolato il campo di variazione residuo (Δg_r), indicativo di possibili variazioni di massa e/o densità nel sottosuolo, sottraendo ai Δg osservati ai diversi vertici le rispettive variazioni di gravità dovute al sollevamento del suolo (Free Air Gradient, FAG) (Figura 2.4.2). Il valore di FAG utilizzato per il calcolo dei residui (Δg_r) è quello ottenuto da Berrino et al., (1992) per i Campi Flegrei, pari a circa $-289 \mu\text{Gal/m}$. La figura 2.4.2 mostra valori residui molto bassi, dell'ordine di poche decine di μGal , che potrebbero essere ricondotti in larga parte alla dinamica superficiale del sistema idrotermale e a variazioni stagionali della falda acquifera.

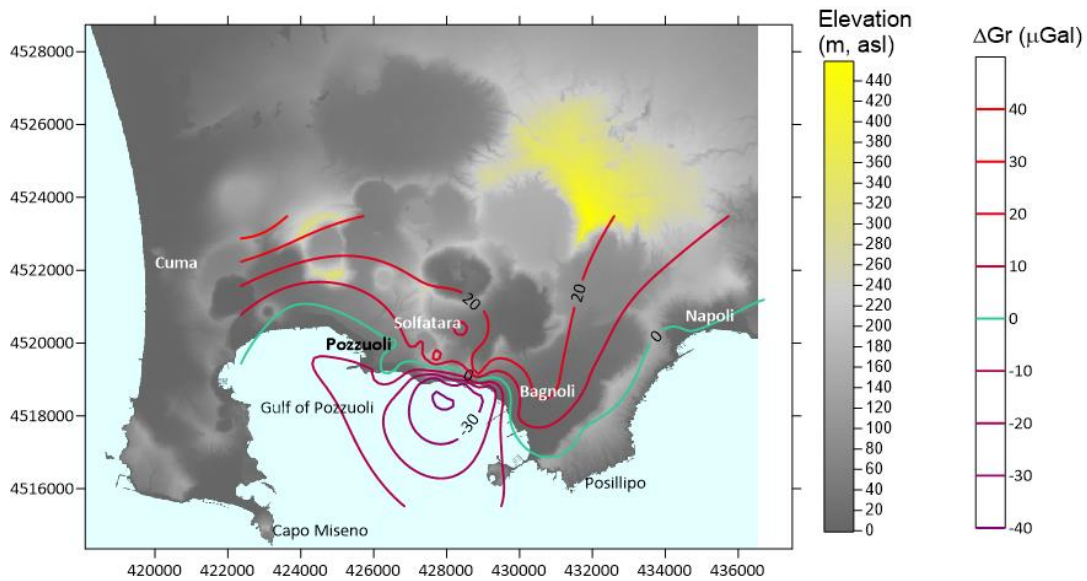


Figura 2.4.2 - Mappa dei residui Δg_r ottenuti dopo aver eliminato l'effetto di variazione di g dovuto al sollevamento della caldera misurato tra ottobre 2021 e febbraio 2022. La correzione FAG utilizzata è di $-289 \mu\text{Gal}/\text{m}$ (Berrino et al., 1992)

3. MONITORAGGIO TERMICO AD IMMAGINE

3.1 Rete Permanente Monitoraggio Termico ad Immagine

La stazione SF2 della Rete Permanente di Monitoraggio Termico dei Campi Flegrei (TIRNet) acquisisce immagini all'infrarosso termico del settore settentrionale del versante interno del cratere della Solfatara, mentre la stazione PS1 acquisisce immagini all'infrarosso termico della parte alta del versante ad ovest della fumarola principale in località Pisciarelli (Fig. 3.1.1; Silvestri et al., 2017; Vilardo et al., 2015).

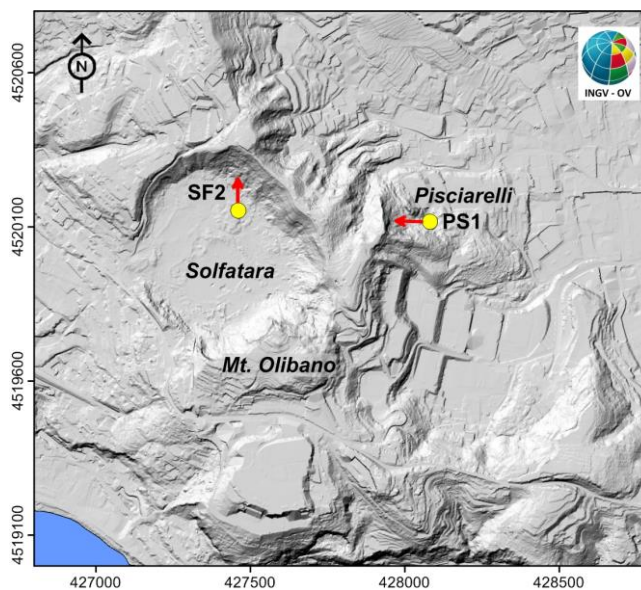


Figura 3.1.1 - Mappa della Rete Permanente di Monitoraggio Termico ad immagine (TIRNet) con l'ubicazione delle stazioni SF2 e PS1. Pallini Gialli: punti di ripresa; frecce rosse: indicano schematicamente le aree campionate.

Le figure seguenti mostrano l'elaborazione delle serie temporali dei valori di temperatura massima delle immagini IR acquisite dalle stazioni SF2 (Fig. 3.1.2) e PS1 (Fig. 3.1.3), processati mediante l'algoritmo di destagionalizzazione analitica STL (Seasonal Trend Decomposition).

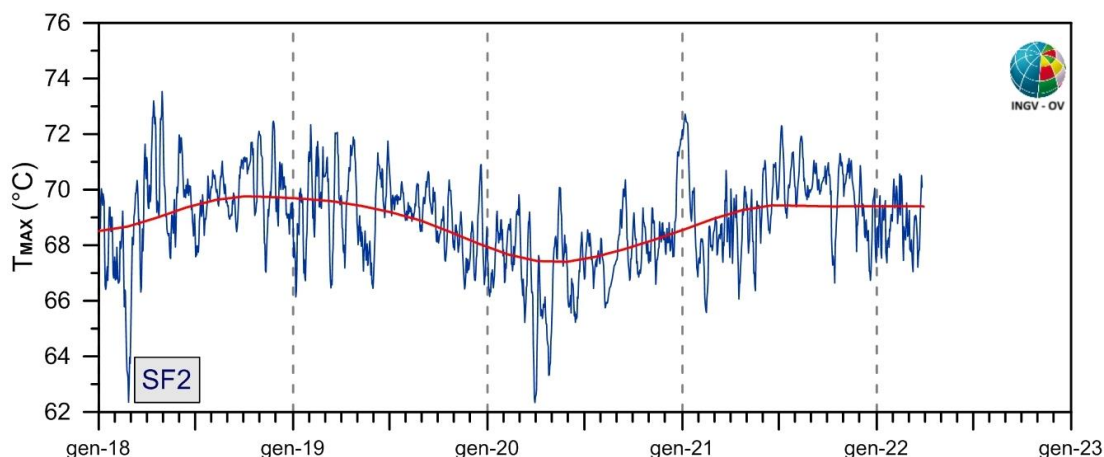


Figura 3.1.2 - Stazione SF2: Serie temporali dei valori di temperatura massima giornaliera rilevata nelle immagini IR destagionalizzate mediante applicazione dell'algoritmo STL [medie settimanali (blu); trend a lungo termine (rosso)].

I cronogrammi delle temperature massime (Fig. 3.1.2 e 3.1.3) evidenziano in generale il perdurare dei trend pluriannuali già identificati in precedenza, caratterizzati da un andamento sostanzialmente stabile seppure in presenza di oscillazioni di varia ampiezza e periodo.

I valori massimi di temperatura al suolo rilevati nell'ultimo mese dalla stazione SF2 (Fig. 3.1.2) non mostrano variazioni significative rispetto a quanto osservato nei mesi precedenti.

Le temperature misurate alla stazione PS1 (Fig. 3.1.3), dopo la repentina e decisa diminuzione dei mesi precedenti, si sono stabilizzate, sebbene con oscillazioni di varia ampiezza e periodo. Anche per il mese di marzo, i valori di temperatura registrati sono tra i più bassi dell'intera serie temporale.

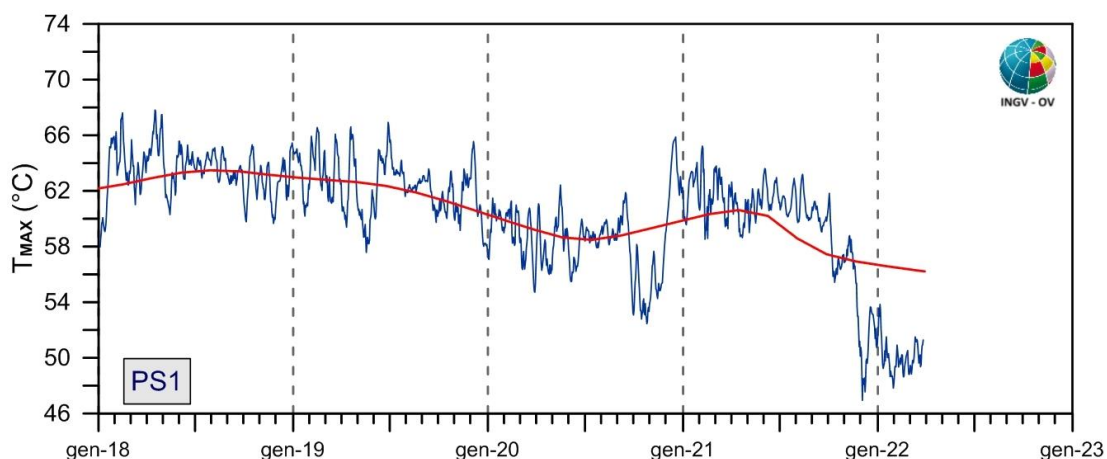


Figura 3.1.3 - Stazione PS1. Serie temporali dei valori di temperatura massima giornaliera rilevata nelle immagini IR destagionalizzate mediante applicazione dell'algoritmo STL [medie settimanali (blu); trend a lungo termine (rosso)].

Nel cronogramma in Figura 3.1.4 è riportato il trend a lungo termine (ottobre 2007 – marzo 2022) delle temperature massime superficiali rilevate dalla stazione PS1 ottenuto mediante applicazione dell'algoritmo STL.

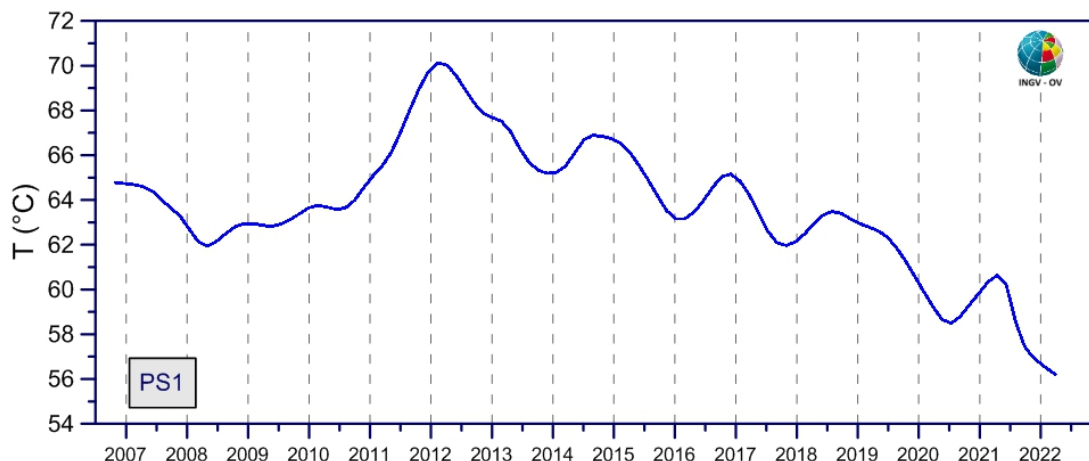


Figura 3.1.4 - Stazione PS1: Trend a lungo termine dei valori di temperatura massima rilevati nelle immagini IR ottenuto mediante applicazione dell'algoritmo STL.

Dopo il raggiungimento del picco massimo dei valori di temperatura nella prima metà del 2012 (Fig. 3.1.4), si rileva la presenza di un trend in costante diminuzione, caratterizzato da ampie oscillazioni a lungo periodo.

Nel mese di marzo 2022, il cronogramma del trend a lungo termine conferma l'andamento con tendenza alla lieve diminuzione osservato a partire dalla primavera 2021.

Nell'ultimo mese, il trend a lungo termine della stazione PS1 ha raggiunto i valori minimi storici, così come ugualmente mostrato dall'andamento della componente a medio termine.

3.2 Monitoraggio Termico con Termocamera Mobile e Termocoppia

La sorveglianza vulcanologica tramite Telecamere Termiche Mobili (TTM) e termocoppie rigide ha come principale obiettivo l'individuazione di eventuali variazioni nel tempo dei valori di temperatura misurati al suolo in punti discreti e/o di aree a temperatura maggiore in modo da evidenziare eventuali modifiche nella distribuzione areale del campo fumarolico.

I rilievi sono eseguiti mensilmente in condizioni di non irraggiamento solare (essenzialmente di notte), utilizzando una termocamera portatile FLIR SC640 ad alta risoluzione (640 x 480 pixel) e sensibilità ($<0.06 \div +30$ °C). La termocoppia utilizzata è di tipo K, con errore strumentale di circa 0.1°C nell'intervallo $-200 \div 1260$ °C. Le misure ottenute con la termocamera sono confrontate, quando possibile, con quelle eseguite con termocoppia rigida.

Da dicembre 2020 si utilizza una nuova termocamera FLIR T1020 con una maggiore risoluzione (1024 x 768 pixel). Quando possibile, contemporaneamente alla FLIR T1020 si continua ad utilizzare anche la FLIR SC640. La doppia misura consente di calibrare i valori rilevati con la nuova termocamera.

Ubicazione dei punti di misura ai Campi Flegrei

Le aree e i punti in cui sono effettuate le misure termiche nella caldera dei Campi Flegrei sono distribuite in varie zone del fondo della caldera (Fig. 3.2.1).

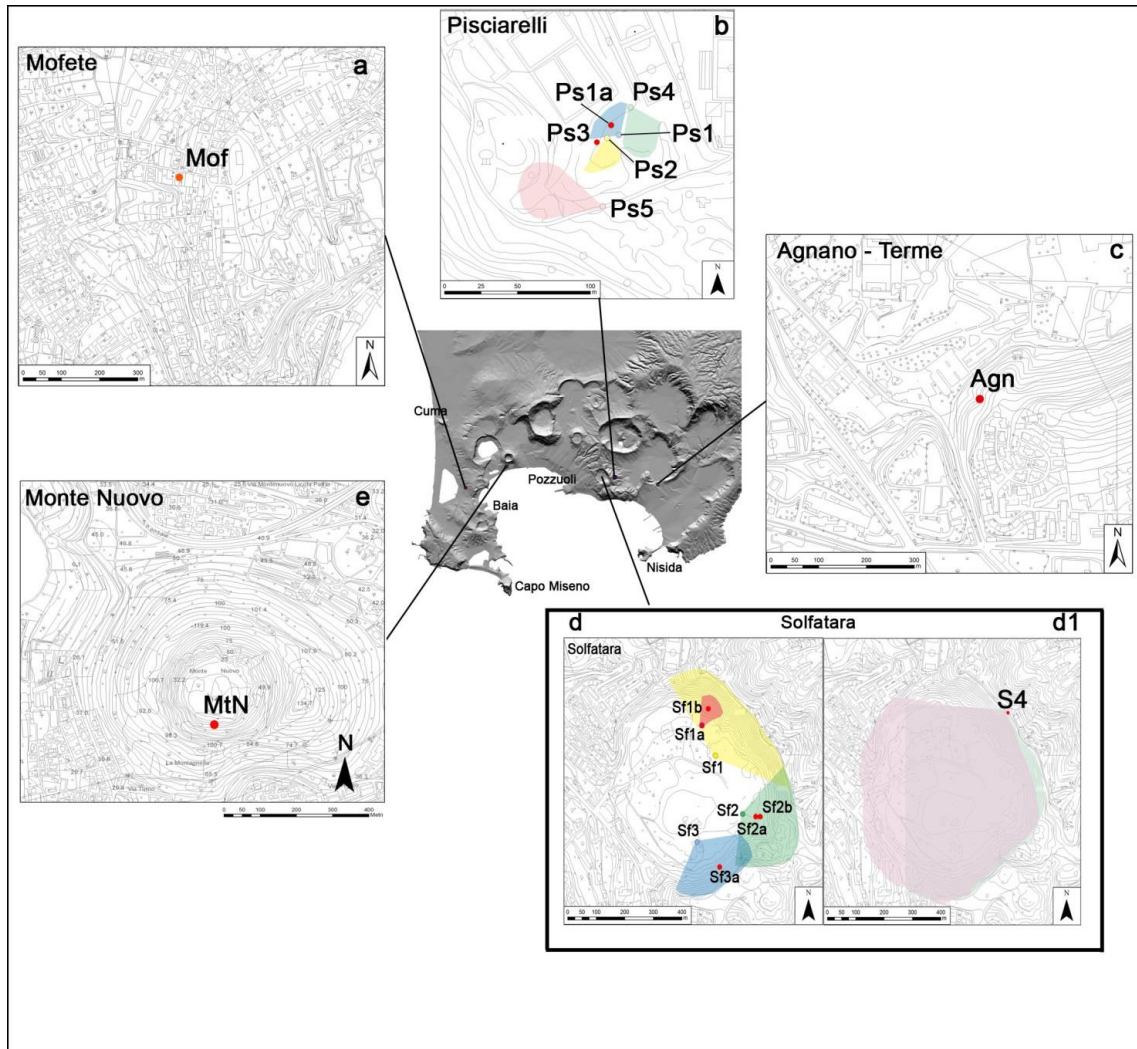


Figura 3.2.1 – Ubicazione dei punti di misura e dei settori indagati ai Campi Flegrei. I pallini rossi indicano i punti stazione dove sono stati effettuati rilievi con termocoppia rigida e telecamera termica. Nel riquadro b, le aree colorate celeste, verde e rosa indicano i versanti rilevati con termocamera rispettivamente dalle stazioni Ps1, Ps4 e Ps5. Nel riquadro d, le aree in giallo, verde e rosa indicano i versanti rilevati con termocamera rispettivamente dalle stazioni Sf1, Sf2 e Sf3; Sf2a e Sf1b sono misure puntuali effettuate con termocamere e termocoppia; nel riquadro d1, in rosa l'area rilevata con termocamera dalla stazione S4.

In generale, non si osservano variazioni significative di temperatura massima e modifiche nella distribuzione areale del campo fumarolico nei diversi punti di misura. Di seguito si riportano le osservazioni e i dati relativi al mese di marzo 2022 corrispondenti a tre siti di misura selezionati (Pisciarelli, Monte Nuovo e Agnano Terme).

Pisciarelli

A Pisciarelli l'allargamento dell'area della polla è aumentato al punto da impedire l'accesso a tutti i siti di misura (Fig. 3.2.1b). Di conseguenza, il rispetto delle procedure di sicurezza non consente di effettuare le misure strumentali nell'area più prossima alla polla. Pertanto dal mese di aprile 2019 i rilievi sono effettuati prevalentemente con l'ausilio di un drone. Il drone utilizzato è un quadricottero (SR-T4) equipaggiato da una termocamera FLIR VUEPRO ad alta risoluzione (640x512 pixel) e precisione ± 5 °C.

La fotocomposizione termica evidenzia due aree con maggiore anomalia termica, denominate PsD1 e PsD2 (Fig. 3.2.2a). L'area PsD1 racchiude i versanti che in passato venivano rilevati con termocamera a mano dalle stazioni Ps1 e Ps4 mentre l'area PsD2 include il versante rilevato in passato dalla stazione Ps5 (Fig. 3.2.1d), in corrispondenza della telecamera termica fissa della Rete TIRNet dell'OV. I valori di temperatura massima rilevati nel mese di marzo 2022 non presentano variazioni significative rispetto ai mesi precedenti (Fig. 3.2.2b).

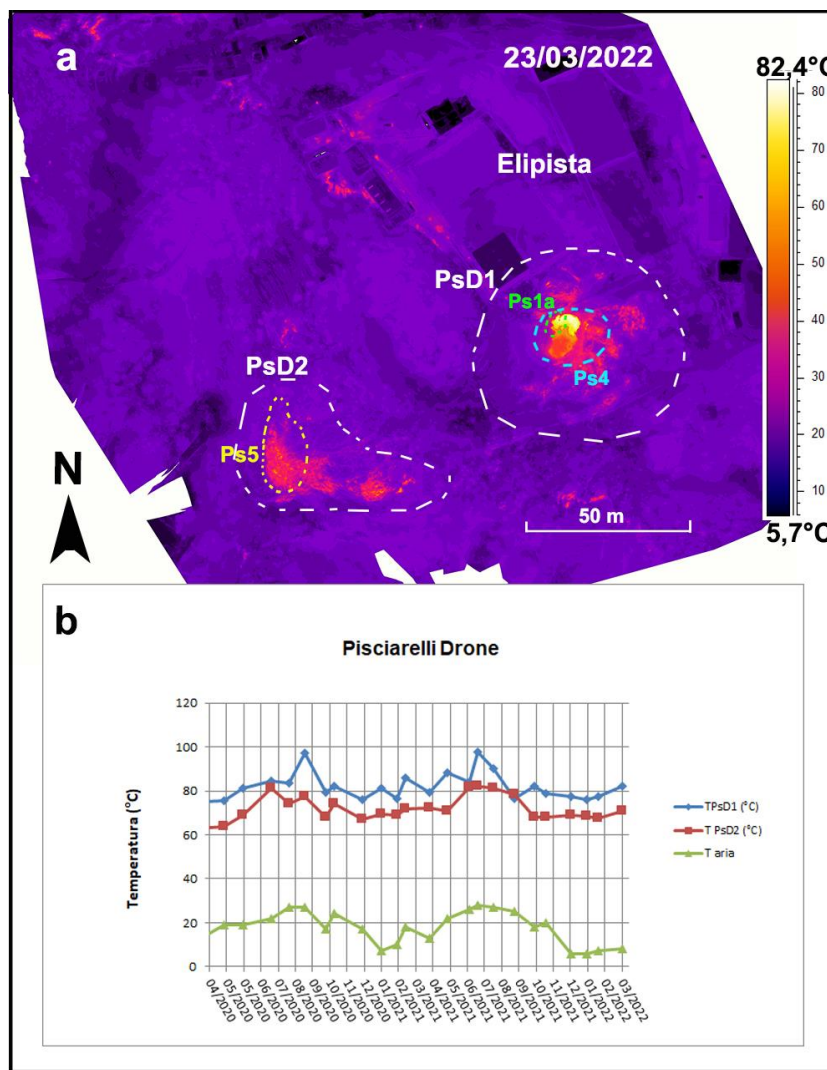


Figura 3.2.2 – Fotocomposizione di immagini termiche rilevate da drone nel mese di marzo 2022 (a) e valori massimi di temperatura (T) delle aree a maggiore anomalia termica (PsD1 e PsD2) confrontati con la temperatura dell'aria (Taria) misurata nel momento del rilievo termico da aprile 2020 a marzo 2022 (b).

Monte Nuovo

I valori di temperatura rilevati con telecamera termica e termocoppia rigida, lungo il versante meridionale dell’edificio di Monte Nuovo (MtN, Fig. 3.2.1e), sono stabili come nei mesi precedenti, a meno di variazioni stagionali (Fig. 3.2.3c).

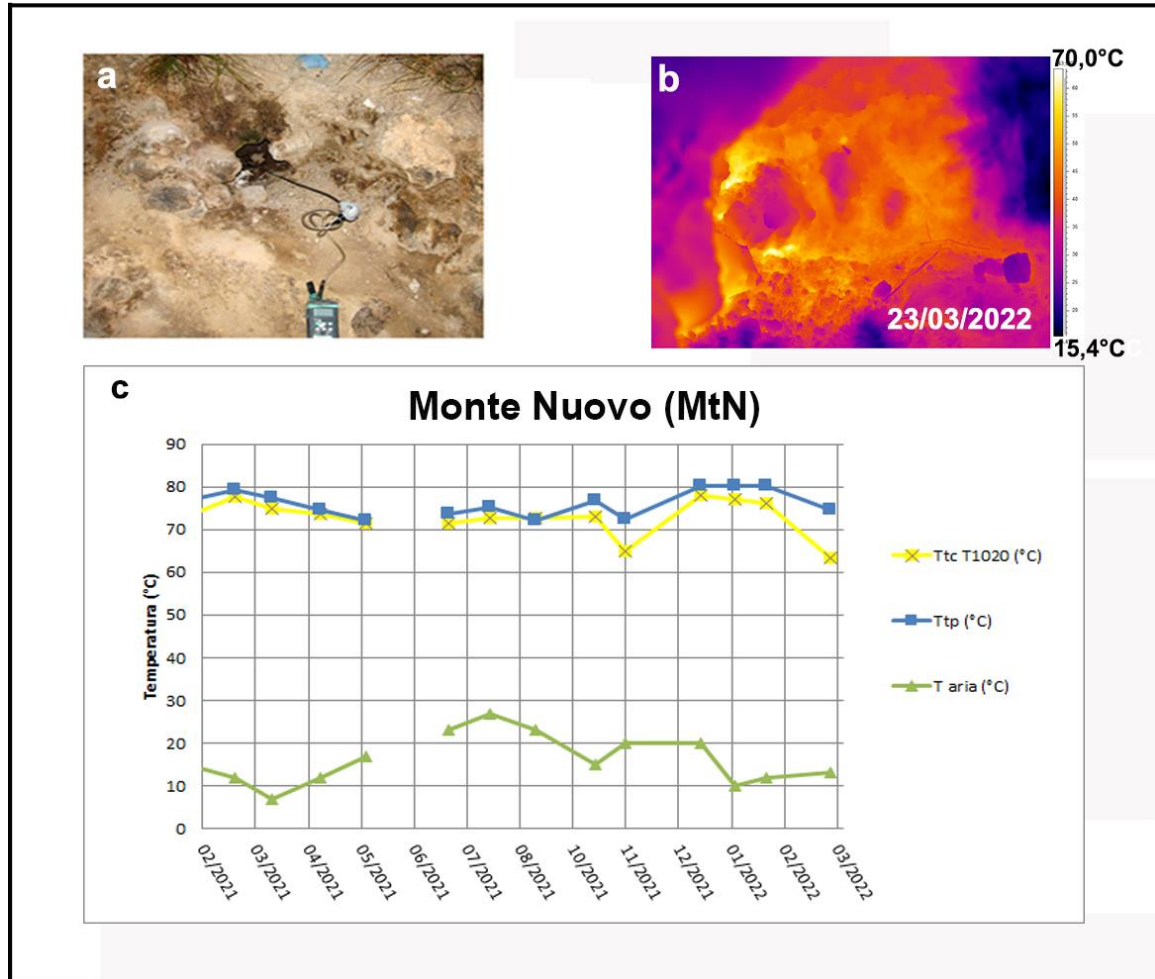


Figura 3.2.3 – Fumarola lungo il versante meridionale di Monte Nuovo. Immagini nel visibile (a) e termica (b) riprese dal punto MtN di figura 1.1e. Valori massimi di temperatura con termocamera FLIR SC640 (TtcSC640), valori massimi di temperatura con termocamera FLIR T1020 (TtcT1020) e valori di temperatura dalla termocoppia (Ttp), confrontati con la temperatura dell’aria (Taria) misurata nel momento del rilievo termico, da febbraio 2021 a marzo 2022 (c).

Agnano Terme

I valori di temperatura rilevati con telecamera termica e termocoppia rigida in corrispondenza di una fumarola non captata presso le “Terme di Agnano” (Agn, figura 3.2.1c), sono stabili a meno di variazioni stagionali (Fig. 3.2.4).

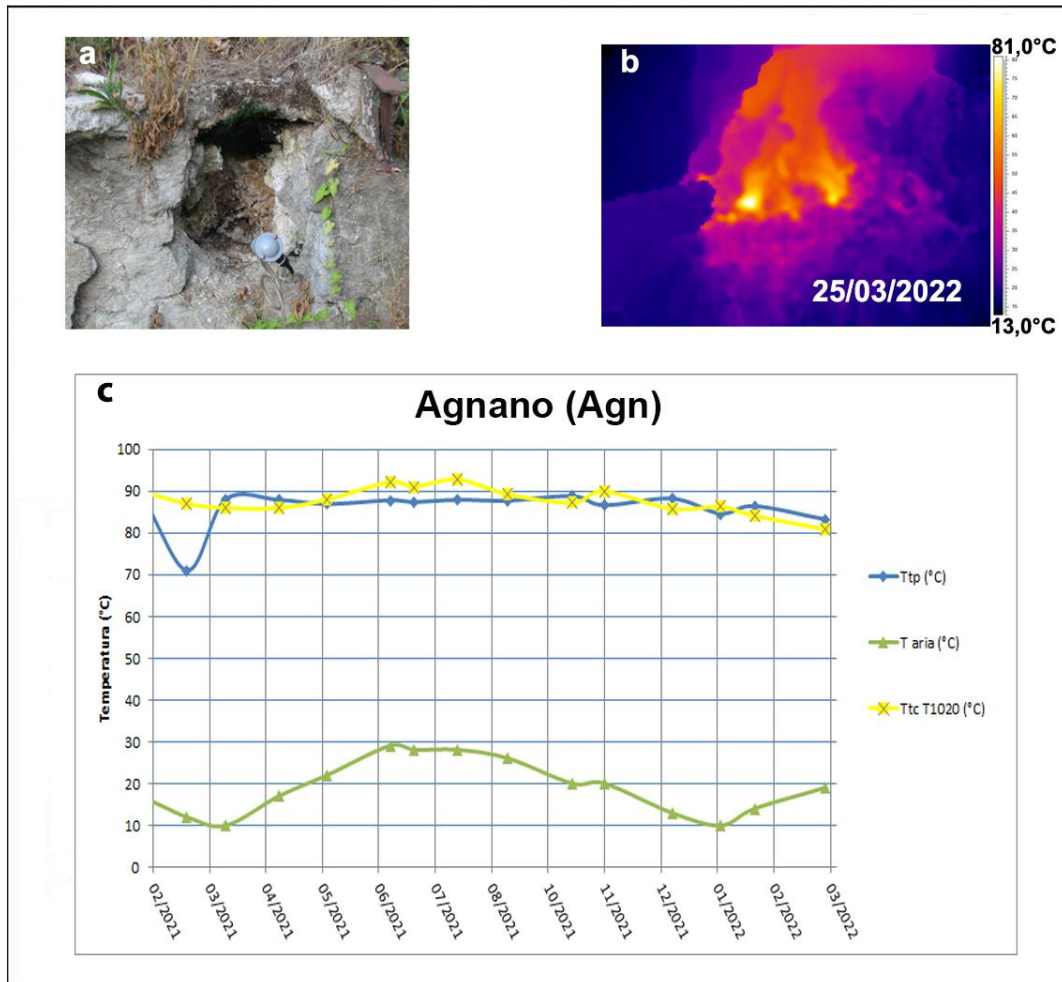


Figura 3.2.4 – Fumarola all’interno dello stabilimento termale delle “Terme di Agnano”. Immagini nel visibile (a) e termica (b) riprese dal punto stazione Agn di Figura 3.2.1c. Valori massimi di temperatura con termocamera FLIR SC640 (TtcSC640), valori massimi di temperatura con termocamera FLIR T1020 (TtcT1020) e valori di temperatura dalla termocoppia (Ttp), confrontati con la temperatura dell’aria (Taria) misurata nel momento del rilievo termico, da febbraio 2021 a marzo 2022 (c).

4. GEOCHIMICA DEI FLUIDI

L'attività di monitoraggio svolta nel mese di marzo 2022 ai Campi Flegrei (Fig. 4.1) ha riguardato:

- l'acquisizione in continuo del flusso di CO₂ dal suolo, della temperatura della fumarola BG e del gradiente termico nel cratere della Solfatara (stazioni FLXOV1, FLXOV5 e GTS1);
- l'acquisizione in continuo dei dati di flusso di CO₂ dal suolo e della temperatura della fumarola tramite la stazione multiparametrica FLXOV8 installata a Pisciarelli;
- il campionamento delle fumarole principali Bocca Grande e Bocca Nuova nel cratere della Solfatara e di una fumarola nell'area di Pisciarelli;
- misure di flusso di CO₂ dal suolo e temperatura del suolo su punti fissi selezionati nell'area della Solfatara e di Pisciarelli.

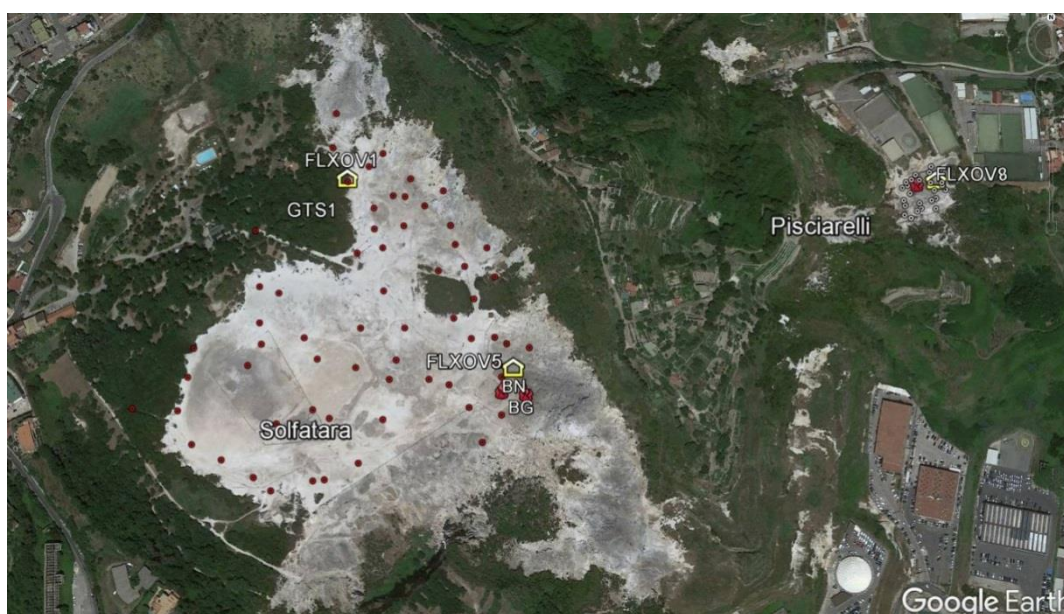


Figura 4.1 - Ubicazione delle stazioni della rete geochimica ai Campi Flegrei e dei siti dove sono eseguite le attività di monitoraggio geochimico. In particolare sono riportate le quattro stazioni geochimiche ubicate in area Solfatara-Pisciarelli, le principali fumarole della Solfatara (BG e BN) e di Pisciarelli, sono inoltre riportati i punti fissi per la misura del flusso di CO₂ dal suolo e della temperatura del suolo in area Solfatara (simboli rossi) e in area Pisciarelli (simboli bianchi).

Di seguito sono riportate le osservazioni più rilevanti sui nuovi dati acquisiti.

Una dettagliata descrizione del modello geochimico interpretativo del sistema idrotermale della Solfatara, delle variazioni composizionali registrate e delle possibili interpretazioni sono riportate nei seguenti lavori scientifici: Caliro et al., (2007; 2014); Chiodini (2009); Chiodini et al., (2010; 2011; 2012; 2015a, b; 2016, 2021), ai quali si rimanda per approfondimento.

Le analisi di laboratorio dei campioni prelevati evidenziano il perdurare dei trend già identificati in precedenza (vedi Bollettini di Sorveglianza precedenti; Figg. 4.2 - 4.5).

Il rapporto CO₂/H₂O delle fumarole (Fig. 4.2) nei campioni di marzo 2022 continua a mostrare valori elevati (~0.39 per la fumarola BG e ~0.37 per la fumarola BN) che in generale testimoniano una elevata frazione di gas magmatici presente nei fluidi fumarolici (Caliro et al., 2007; Chiodini et al., 2010).

In particolare, l'interpretazione di queste variazioni risulta più complessa alla luce di recenti studi che mettono in evidenza come possibili processi di condensazione del vapore nel sistema idrotermale, in risposta ad un aumento del flusso dei fluidi magmatici (e della pressione) e allo stato termico del sistema, possano influenzare il rapporto $\text{CO}_2/\text{H}_2\text{O}$ misurato alle fumarole (Chiodini et al., 2015a; 2016; 2021). Inoltre è possibile che una frazione della CO_2 emessa dalle fumarole sia prodotta, in seguito all'aumento di temperatura del sistema, da reazioni che coinvolgono la calcite di origine idrotermale presente nel sistema (Chiodini et al., 2015b).

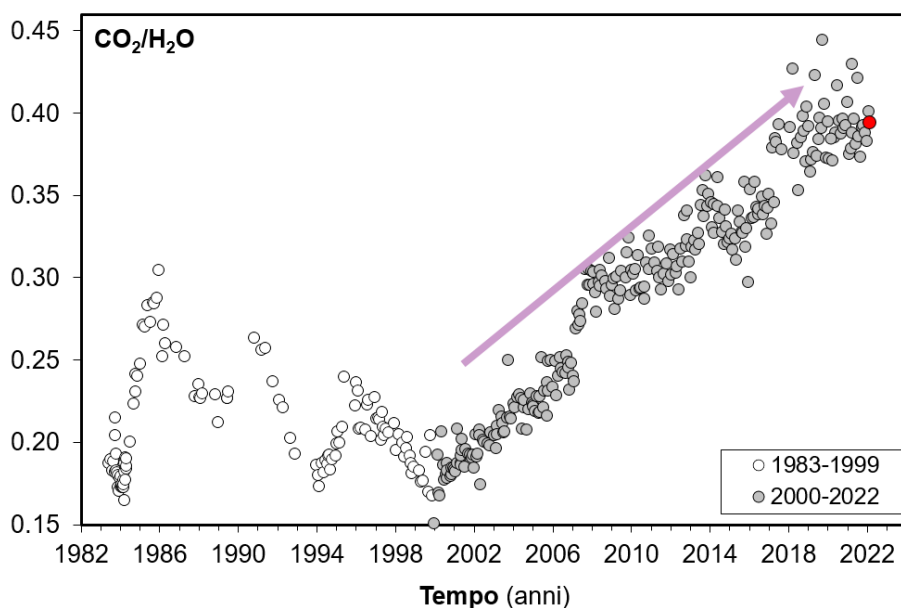


Figura 4.2 - Cronogramma del rapporto $\text{CO}_2/\text{H}_2\text{O}$ per la fumarola BG. In grigio sono riportati i dati a partire dal 2000, quando è iniziato un trend d'aumento del rapporto $\text{CO}_2/\text{H}_2\text{O}$, in generale, indicativo di una crescente frazione della componente magmatica nei fluidi fumarolici. Con il simbolo rosso è evidenziato il campione di marzo 2022.

L'analisi di geindicatori di Temperatura e Pressione, basati sulle composizioni delle fumarole BG e BN, indica il progressivo riscaldamento delle parti più superficiali del sistema idrotermale della Solfatara. In particolare, le concentrazioni di monossido di carbonio (CO), disponibili alla Solfatara di Pozzuoli fin dalla crisi del 1983-84, a partire dagli inizi degli anni 2000 mostrano un evidente trend di crescita particolarmente marcato a partire dai campioni del 2018, trend che ha raggiunto un massimo nel luglio 2020, per poi invertirsi per i campioni degli ultimi mesi (fumarola BG, Fig. 4.3). Tale variazione è, comunque, rilevante poiché il CO è fra le specie fumaroliche analizzate quella più sensibile alla temperatura. Assumendo come buffer delle condizioni redox del sistema idrotermale la funzione di D'Amore and Panichi (1980), che in generale ben descrive la $f\text{O}_2$ in molti dei sistemi idrotermali del mondo, il trend del CO corrisponderebbe ad un aumento di temperatura di circa 35 °C fra gli inizi degli anni 2000 (T circa 215 °C) a oggi (T circa 250 °C) raggiungendo un massimo (T circa 263 °C) nel 2018 (Fig. 4.4). In particolare il campione del mese di marzo conferma una diminuzione significativa della concentrazione di CO e quindi della temperatura stimata (~245 °C), già mostrata nel periodo precedente. Tale variazione suggerisce un comportamento simile a quanto verificatosi nel 2017, quando dopo una iniziale diminuzione delle concentrazioni di CO, probabilmente legata a un input di fluidi ossidanti magmatici, è seguito un successivo aumento delle concentrazioni e delle temperature stimate. Il processo di riscaldamento del sistema flegreo e le possibili cause sono trattate nei lavori scientifici di Chiodini et al. (2015a; 2016) a cui si rimanda per approfondimento.

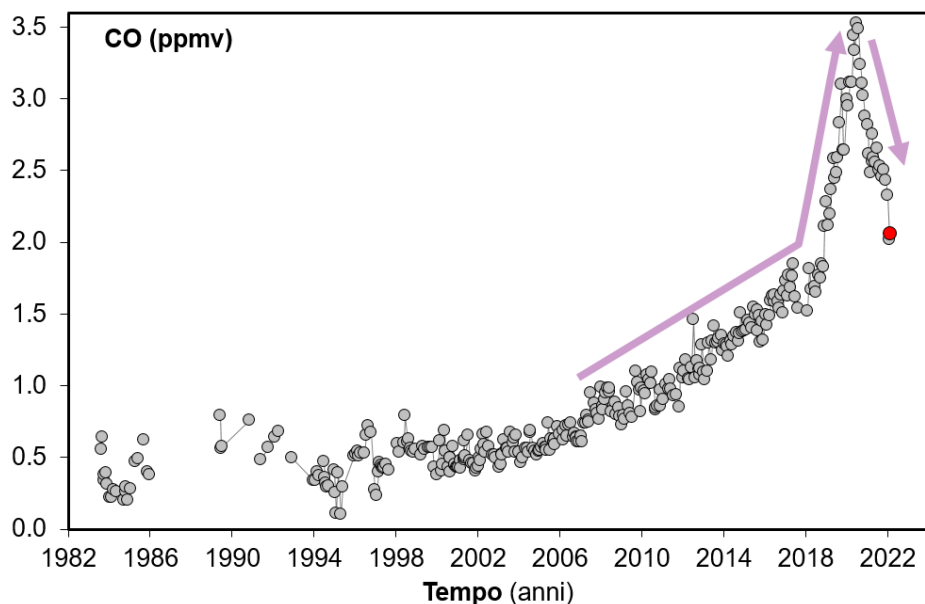


Figura 4.3 – Variazioni della concentrazione di monossido di carbonio (CO) misurato alla fumarola BG a partire dal 1983. Con il simbolo rosso è evidenziato il campione di marzo 2022. In generale alti contenuti di CO caratterizzano sistemi vulcanici ad elevata temperatura mentre fumarole alimentate da sistemi idrotermali mostrano concentrazioni più basse, in tali sistemi un aumento delle concentrazioni di CO può riflettere un incremento delle condizioni di pressione e temperatura.

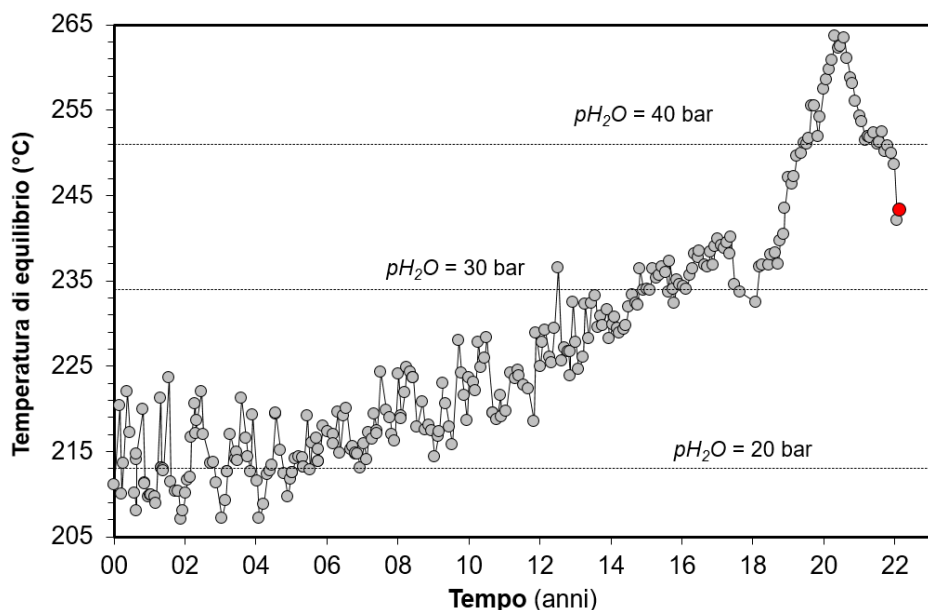


Figura 4.4 – Cronogramma delle temperature di equilibrio per il sistema CO-CO₂, relativo alla fumarola BG, stimate assumendo condizioni redox fissate dalla relazione di D'Amore and Panichi (1980). Tali temperature, rappresentative della parte più superficiale del sistema idrotermale (Caliro et al., 2007), mostrano un trend d'aumento a partire dai primi anni del 2000. Con il simbolo rosso è evidenziato il campione di marzo 2022.

Il cronogramma del rapporto CO₂/CH₄ (Fig. 4.5) mostra picchi positivi, interpretati come dovuti all'arrivo di fluidi magmatici ossidanti e a basso contenuto in CH₄, nel sistema idrotermale (Chiodini 2009; Chiodini et al., 2010; 2011; 2012).

Il cronogramma del rapporto CO_2/CH_4 (Fig. 4.5) mostra picchi positivi, interpretati come dovuti all'arrivo di fluidi magmatici ossidanti, e a basso contenuto in CH_4 , nel sistema idrotermale (Chiodini 2009; Chiodini et al., 2010; 2011; 2012). I vari picchi corrisponderebbero, quindi, a eventi di degassamento magmatico, occorsi in precedenza, e con conseguente immissione di fluidi magmatici nel sistema idrotermale che alimenta le fumarole della Solfatara. Per maggiori dettagli su tale processo si rimanda a specifici lavori scientifici (Chiodini et al., 2012; 2016). Inoltre, in Figura 4.5, è possibile riconoscere un trend d'aumento del rapporto a partire dal 2000, interrotto dalla fase discendente dell'ultimo picco, con un massimo nel 2017, che caratterizza gli ultimi anni, anche se negli ultimi mesi si sta assistendo a un lieve aumento. La persistenza di un basso valore del rapporto CO_2/CH_4 (i.e. elevate concentrazioni di CH_4) contemporaneamente all'aumento della concentrazione del monossido di carbonio e dell'idrogeno evidenzia una variazione del comportamento del sistema idrotermale in risposta a un'iniezione di fluidi magmatici, rispetto a quanto mostrato nei periodi precedenti. I fluidi emessi in questo periodo (2018-2021) dal sistema idrotermale mostrano caratteristiche più riducenti, che secondo le più recenti interpretazioni sono indotte da estesi processi di condensazione del vapore nella parte superficiale del sistema, in risposta all'aumento delle condizioni di pressione e temperatura. Nei campioni di marzo 2022, il rapporto CO_2/CH_4 mostra valori in lieve aumento rispetto ai periodi precedenti

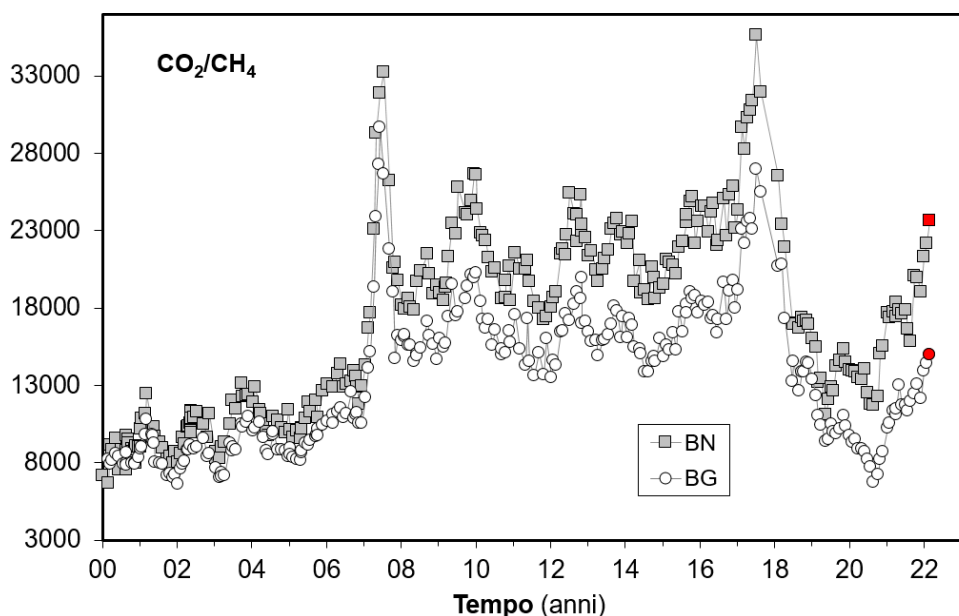


Figura 4.5 – Variazioni del rapporto CO_2/CH_4 per le fumarole BG e BN a partire dal 2000. I picchi nel rapporto, registrati in superficie con circa un anno di ritardo, evidenziano episodi di degassamento magmatico occorsi ai Campi Flegrei (Chiodini et al., 2012). Con i simboli rossi sono evidenziati i campioni di marzo 2022.

Il processo di riscaldamento e pressurizzazione del sistema idrotermale è supportato dalle misure periodiche, su punti fissi nel cratere della Solfatara, del flusso di CO_2 dal suolo e della temperatura del suolo che mostrano trend di aumento pluriennali (Fig. 4.6). In particolare, i valori di flusso di CO_2 dal suolo relativi alle campagne mensili di misura mostrano un andamento caratterizzato da una periodicità annuale, rientrando in un trend di aumento dei valori a partire dal 2006 (Fig. 4.6). Queste misure (~60 punti, Target area in Fig. 4.6a), sono state confrontate con i dati di flusso totale emesso dall'area di degassamento, misurato nelle campagne estese eseguite fino al 2016 (~400 misure per campagna, Cardellini et al., 2017), successivamente sospese per le note difficoltà di accesso all'area del cratere della Solfatara.

La correlazione mostrata tra i valori di flusso misurati nell'area target e l'area estesa, ha permesso di stimare un valore medio del flusso dell'intera area di degassamento in ~ 3200 t/d nel 2020 (Chiodini et al., 2021) e ~ 3000 t/d nel 2021 e 2022, valori paragonabili al flusso medio di CO_2 nel *plume* di vulcani attivi a degassamento persistente.

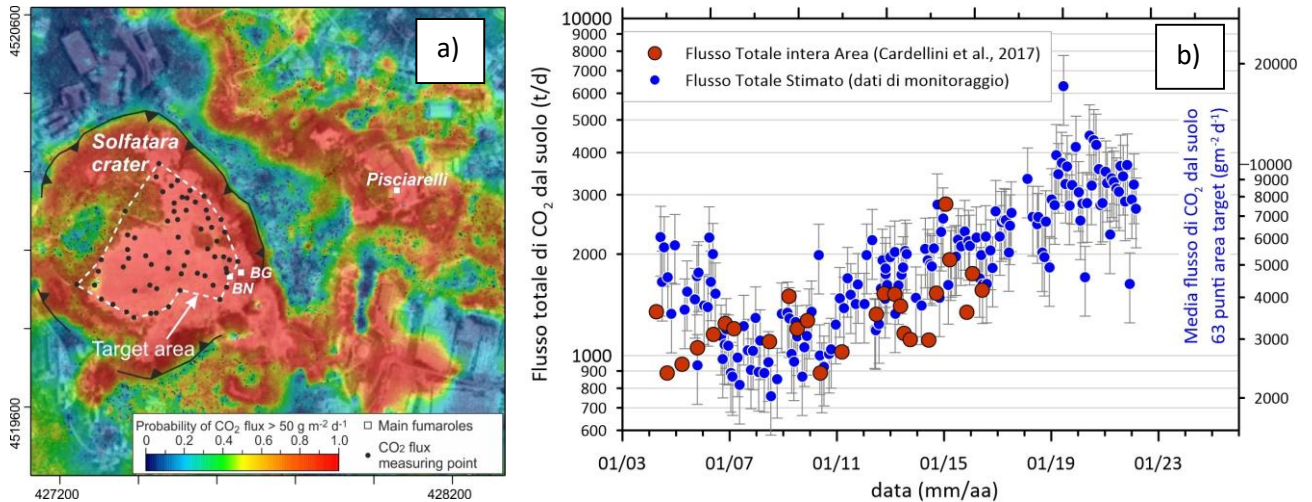


Figura 4.6 – a) Mappa dell'area di degassamento diffuso della Solfatara-Pisciarelli (Cardellini et al., 2017), con l'ubicazione dell'area target; b) Cronogramma dei flussi di CO_2 , i punti blu si riferiscono all'emissione dall'area target scalati sull'intera DDS, ottenuta dal confronto con i dati delle 30 campagne estese (simboli rossi) in Cardellini et al. (2017).

La media delle temperature del suolo, misurate a 10 cm di profondità, mostra un chiaro andamento stagionale sovrainposto a un trend d'aumento (Fig. 4.7), con un incremento del valore medio delle temperature misurate di oltre 6 °C nel periodo 2002-2022. Nella mappa di Figura 4.8a è riportato l'incremento di temperatura espresso in °C/anno calcolato per ogni punto di misura a partire dal 2002. L'incremento di temperatura interessa diffusamente tutta l'area craterica con un massimo nella zona centrale; naturalmente, l'incremento di temperatura non interessa le aree delle fumarole e del bordo del cratere a NE, dove le temperature sono vicine al limite fisico di condensazione per i fluidi emessi dalla Solfatara ($\sim 95^\circ\text{C}$, Fig. 4.8b).

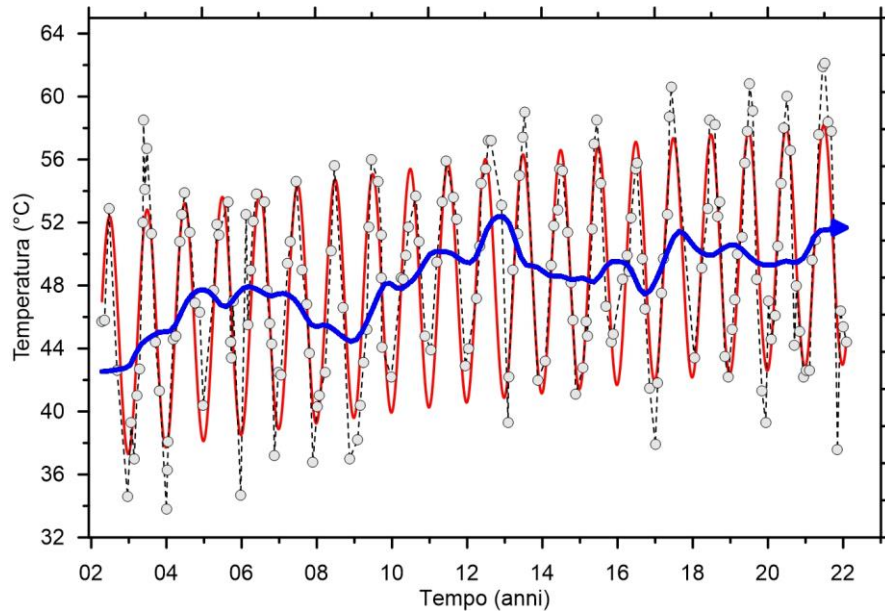


Figura 4.7 – Cronogramma della media delle temperature del suolo (a 10 cm di profondità) misurate su 61 punti fissi nell’area craterica della Solfatara. Va evidenziato l’incremento del valore medio nel periodo 2002-2022 di oltre 6 °C. Il trend depurato dalla componente stagionale, mediante l’utilizzo dell’algoritmo di destagionalizzazione STL (Seasonal-Trend decomposition based on Loess, Cleveland et al., 1990), è riportato con la linea blu.

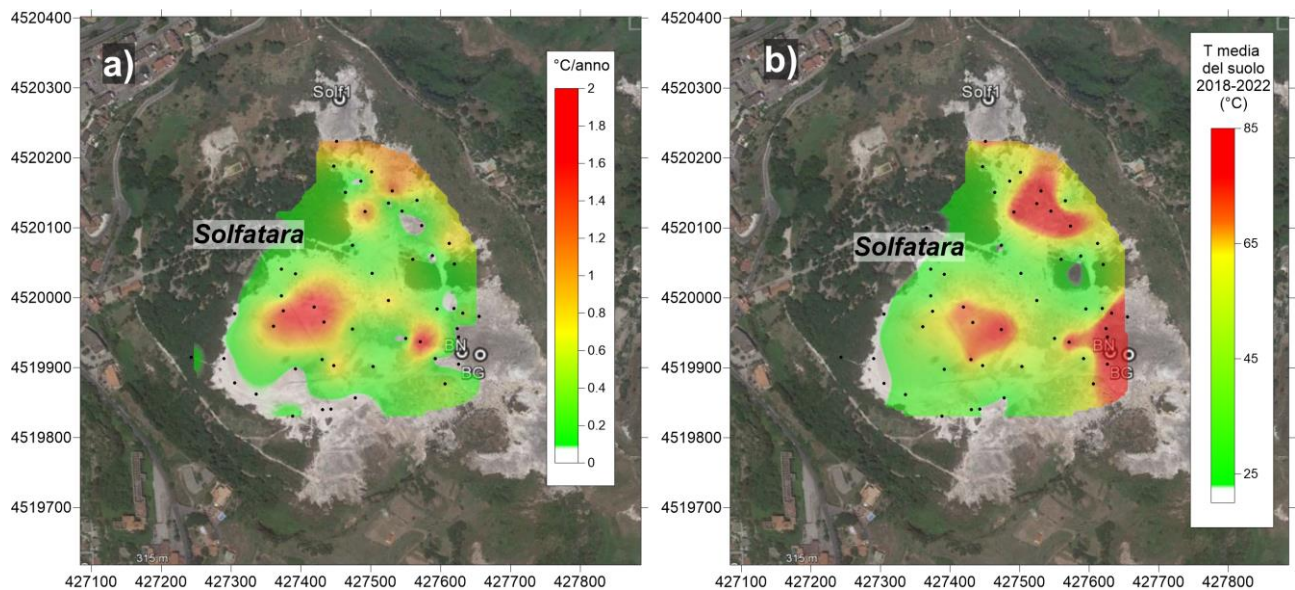


Figura 4.8 – a) Mappa dell’incremento di temperatura in °C/anno calcolato per ogni punto misurato a partire dal 2002. L’incremento di temperatura interessa diffusamente tutta l’area craterica con un massimo nella zona centrale. L’incremento di temperatura non interessa le aree delle fumarole e del bordo del cratere a NE dove le temperature sono vicine al limite fisico di condensazione per i fluidi emessi dalla Solfatara (~95°C). b) mappa delle temperature dei punti misurati (media dal 2018 al 2022).

Tale processo di riscaldamento è evidenziato anche da misure analoghe, di flusso di CO₂ dal suolo e temperatura del suolo, eseguite periodicamente su 25 punti fissi nell’area di Pisciarelli. In Figura 4.9 è riportata la media delle temperature del suolo, misurate a 10 cm di profondità, che dal 2009 mostra un rilevante trend d’aumento, con un incremento del valore medio di circa 5 °C. Nella mappa di Figura 4.10, dove è riportata la distribuzione areale dell’incremento annuo di temperatura, si nota,

oltre ad un aumento diffuso delle temperature in tutta l'area indagata, la presenza di zone a maggiore riscaldamento legate a processi di fumarizzazione locale.

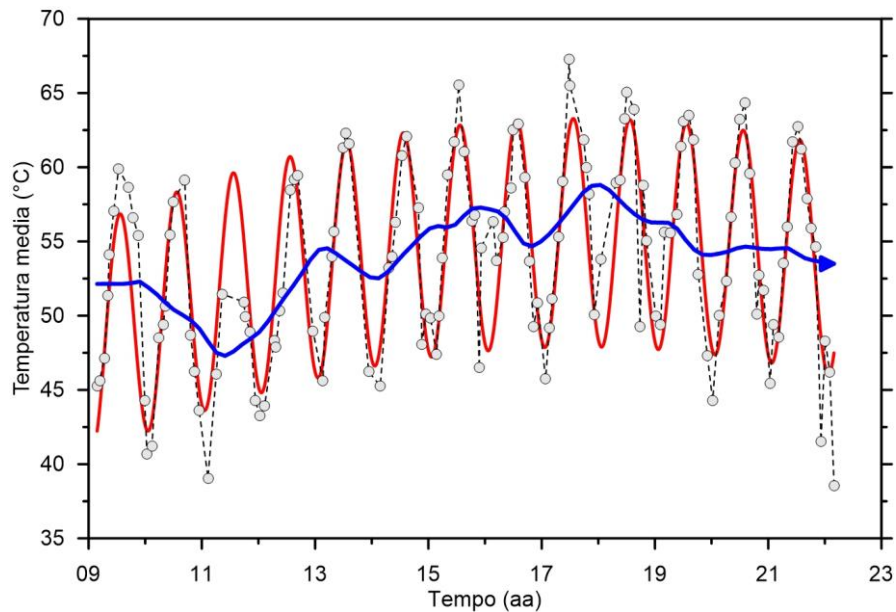


Figura 4.9 – Cronogramma della media delle temperature del suolo (a 10 cm di profondità) misurate su 25 punti fissi nell'area di Pisciarelli dal 2009. Il trend destagionalizzato, mediante l'utilizzo dell'algoritmo di destagionalizzazione STL (Seasonal-Trend decomposition based on Loess, Cleveland et al., 1990), è riportato con la linea blu.

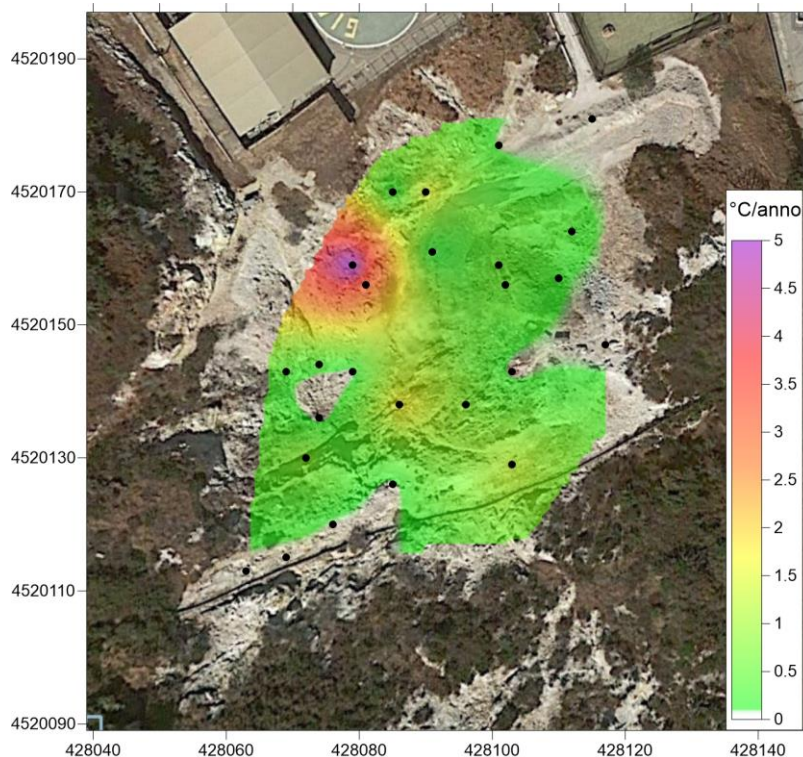


Figura 4.10 – Mappa dell'incremento di temperatura in °C/anno calcolato per ognuno dei 25 punti fissi nell'area di Pisciarelli misurati a partire dal 2009. L'incremento di temperatura interessa tutta l'area indagata con le zone di maggiore riscaldamento legate a processi di fumarizzazione locale.

Il flusso di CO₂ dal suolo misurato dalla stazione multiparametrica FLXOV5, installata nel cratere della Solfatara, ha mostrato un significativo aumento a partire dal febbraio 2016 (Fig. 4.11), tale aumento è da mettere in relazione all'evidente processo di fumarolizzazione che interessa l'intera area.

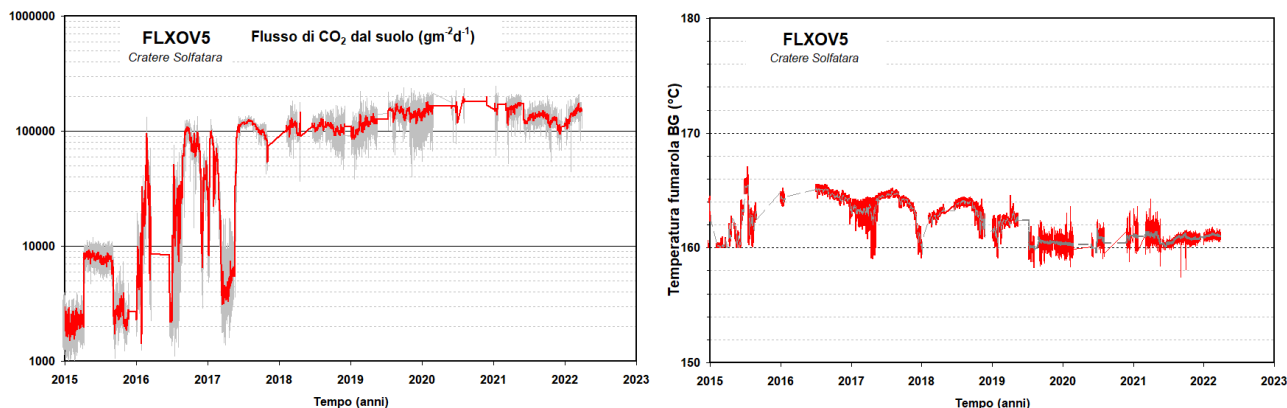


Figura 4.11 – Valori del flusso di CO₂ dal suolo e della temperatura della fumarola BG misurati dalla stazione FLXOV5 installata nel cratere della Solfatara a pochi metri dalla fumarola principale BG. I valori di flusso di CO₂ dal suolo mostrano, in generale, un significativo incremento a partire dal 2016 (la linea rossa si riferisce alle medie giornaliere).

Il processo di riscaldamento e pressurizzazione della parte più superficiale del sistema idrotermale, iniziato a partire dal 2007 (Chiodini et al., 2011) e tuttora in corso, è presumibilmente la causa delle variazioni macroscopiche del processo di degassamento osservate nel sito di Pisciarelli (Fig. 4.12) e che negli ultimi anni sono consistite nell'apertura di nuovi *vent* fumarolici e di polle bollenti, nell'emissione di fango, in attività sismica localizzata, nell'aumento della temperatura della fumarola principale (Fig. 4.13) e nell'aumento dei flussi di CO₂ dal suolo misurati in continuo dalla stazione geochimica (Fig. 4.14). In particolare, il flusso di CO₂ dal suolo misurato dalla stazione FLXOV8, che nel periodo aprile 2020 - maggio 2021 aveva mostrato una diminuzione dei valori, nel mese di marzo 2022 ha mostrato valori simili ai periodi precedenti e a quelli registrati nei primi mesi del 2020. La concentrazione di CO₂ in aria non ha mostrato variazioni dei valori registrati nel periodo di interesse (Fig. 4.15).

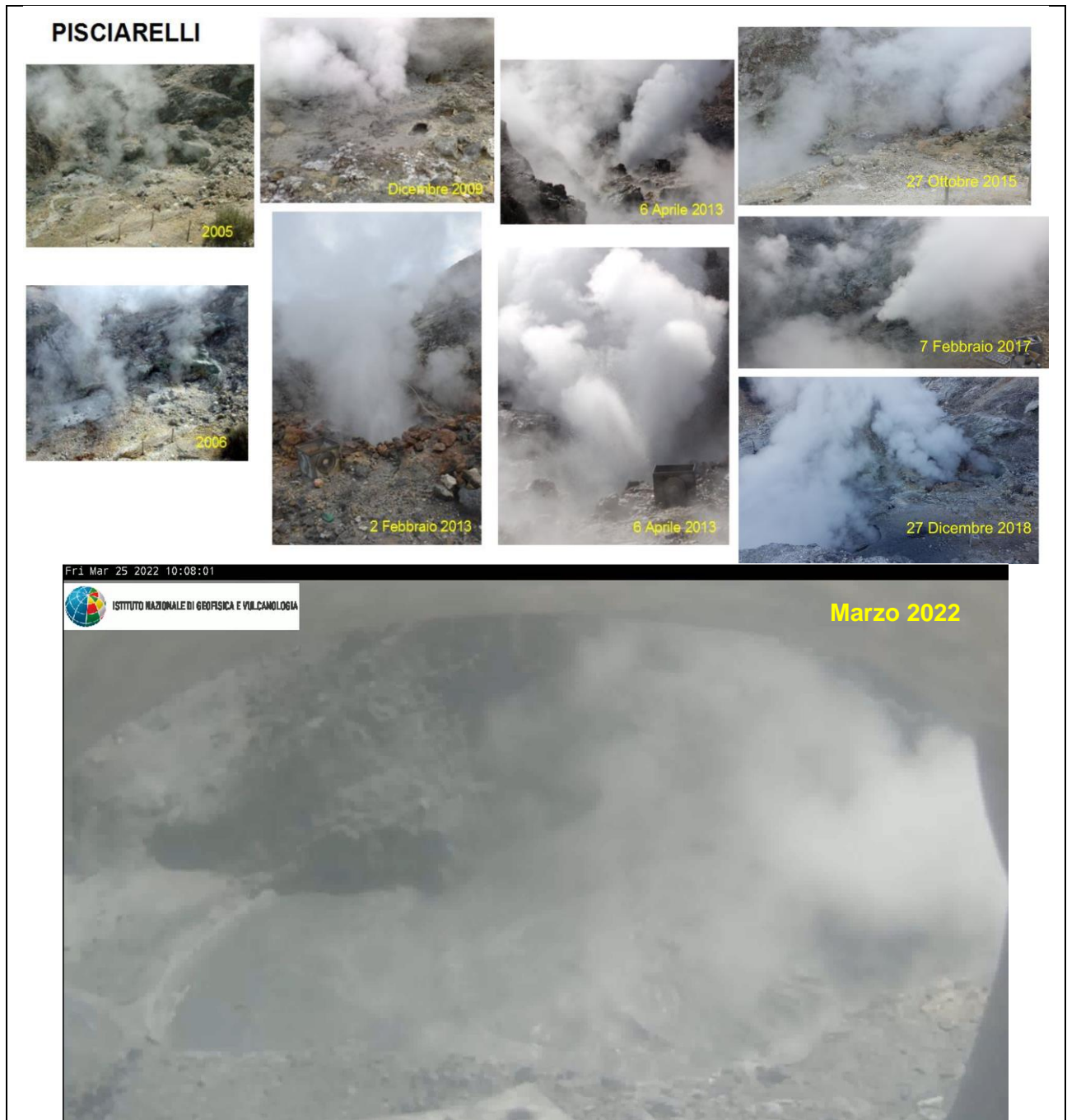


Figura 4.12 - Variazioni macroscopiche dell'area di emissione di Pisciarelli dal 2005.

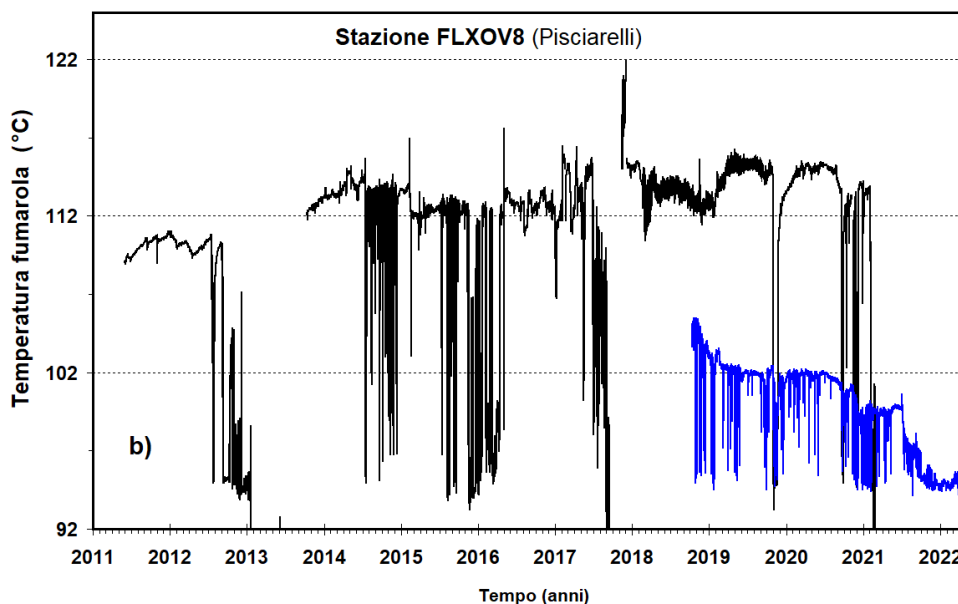


Figura 4.13 – Cronogramma dal 2011 della temperatura della fumarola principale di Pisciarelli. Con la linea blu sono riportati i valori di temperatura misurati in continuo, a partire dal mese di ottobre 2018, in un'altra emissione fumarolica nell'area di Pisciarelli sita a pochi metri di distanza dalla fumarola principale e caratterizzata da una minore temperatura di emissione.

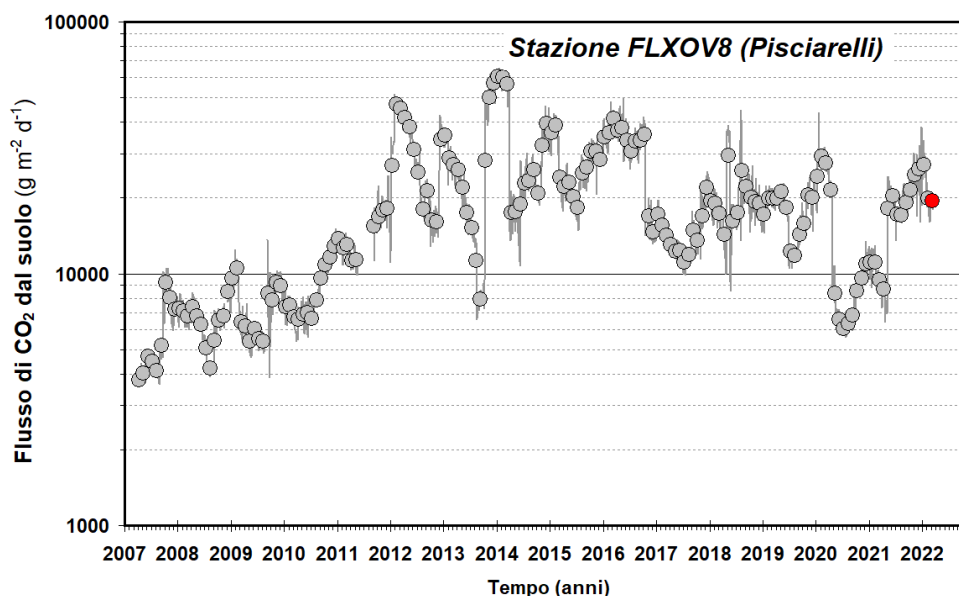


Figura 4.14 - Medie giornaliere (linea) e medie mensili (cerchi) dei flussi di CO_2 misurati dalla stazione automatica a Pisciarelli. È da evidenziare il continuo trend d'aumento nel tempo a partire dal 2007 del flusso CO_2 . La media dei flussi relativa al mese di marzo 2022 è riportata con il simbolo rosso. Il flusso di CO_2 dal suolo misurato dalla stazione FLXOV8, che dal mese di aprile 2020 fino a maggio 2021 aveva mostrato una diminuzione dei valori, negli ultimi periodi ha mostrato valori simili a quelli registrati nei primi mesi del 2020.

In Figura 4.13 (linea blu) sono riportati i valori di temperatura misurati in continuo a partire dal mese di ottobre 2018 in un'altra emissione fumarolica nell'area di Pisciarelli, caratterizzata da una minore temperatura di emissione e sita a pochi metri di distanza dalla fumarola principale. Nel mese di marzo 2022, i valori di temperatura misurati hanno mostrato un valore medio di $\sim 95^\circ\text{C}$, valore di ebollizione per il fluido emesso.

L'incremento del processo di degassamento nell'area è supportato dalle misure del flusso di CO₂ delle fumarole (Tamburello et al., 2019). Inoltre, l'aumento dell'attività di degassamento nell'area di Pisciarelli è anche indicato dalla misura in continuo della concentrazione di CO₂ in aria e dal tremore fumarolico (RSAM, Real-time Seismic Amplitude Measurement) misurato dalla stazione sismica CPIS (Fig. 4.15) e generato dall'attività fumarolica, parametri che risultano strettamente correlati all'intensità dell'attività idrotermale (Chiodini et al., 2017, Giudicepietro et al., 2019; 2020). Tale processo è visibile fino alla prima metà del 2020 per poi mostrare una diminuzione.

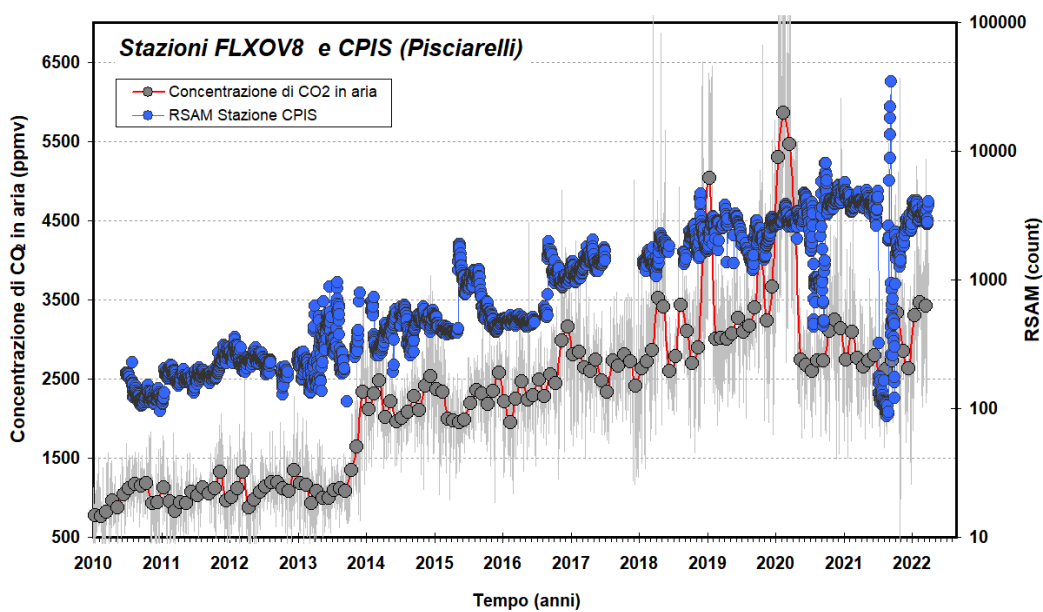


Figura 4.15 - Cronogramma delle medie giornaliere (linea) e medie mensili (cerchi) della concentrazione di CO₂ registrata in aria con frequenza bioraria dalla stazione geochimica per la misura del flusso di CO₂ dal suolo di Pisciarelli (FLXOV8). Nel cronogramma è riportata anche la serie temporale dell'ampiezza del tremore fumarolico su base giornaliera registrata dalla stazione sismica CPIS, installata a pochi metri dalla fumarola principale. Questi parametri risultano strettamente correlati tra di loro e all'intensità dell'attività idrotermale (Chiodini et al., 2017, Giudicepietro et al., 2019). E' da evidenziare il continuo trend d'aumento nel tempo delle concentrazioni di CO₂ in aria e dell'ampiezza del tremore fumarolico sin dal 2013.

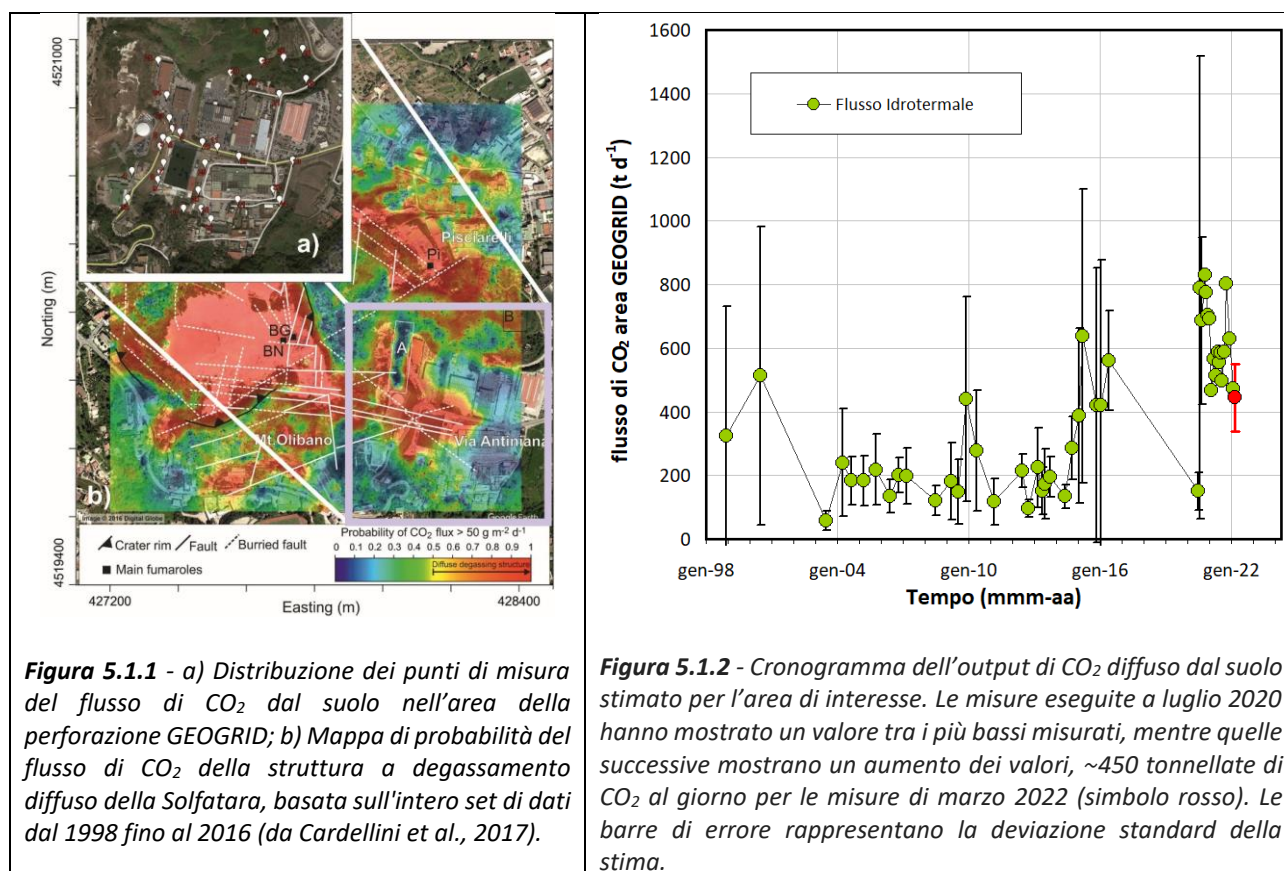
In particolare, la serie temporale di concentrazione di CO₂ in aria (registrata con frequenza bioraria dalla stazione geochimica FLXOV8) mostra un significativo aumento nel tempo delle concentrazioni (come medie mensili), da ~1000 ppm nel 2012, con un massimo di ~5000 ppm registrato nei periodi gennaio-marzo 2019 e gennaio-marzo 2020. In particolare, negli ultimi periodi la concentrazione di CO₂ misurata in aria ha mostrato un trend in diminuzione con valori di ~3000 ppm nel mese di marzo 2022. Analogamente, l'ampiezza del tremore fumarolico (RSAM) mostra a partire dal 2013 un rilevante aumento nel tempo. Nel mese di marzo 2022 il tremore fumarolico non ha mostrato variazioni significative dei valori misurati (Fig. 4.15).

In considerazione di tali evidenti variazioni, in osservanza al principio di precauzione e al fine di operare in sicurezza nel sito di emissione sono al momento sospese le attività di campionamento dei fluidi della fumarola principale di Pisciarelli oltre a quelle di manutenzione del sensore di temperatura installato nella medesima fumarola.

5. AGGIORNAMENTO ATTIVITÀ DI MONITORAGGIO NELL'AREA CIRCOSTANTE IL POZZO "GEOGRID"

5.1 Misure di flusso diffuso di CO₂ dal suolo in area del cantiere del pozzo del Progetto GEOGRID

Al fine di rilevare eventuali variazioni locali del processo di degassamento diffuso dal suolo a partire dal mese di settembre 2020 sono state ripetute mensilmente le campagne di misura del flusso di CO₂ dal suolo in circa 30 punti distribuiti in un'area di circa 0.25 km², centrata sul cantiere della perforazione eseguita nell'ambito del progetto GEOGRID (Fig. 5.1.1a). Le misure sono state confrontate con quelle relative al database di misure del flusso di CO₂ diffuso eseguite dal 1998 al 2016 (Cardellini et al., 2017), riguardanti la stessa area (Fig. 5.1.1b).



I valori di flusso di CO₂ emesso dall'area indagata hanno mostrato un *range* compreso tra 58 e 638 t/d nel periodo dal 1998 al 2016, con un valore medio di circa 250 t/d. Tuttavia è da notare che gli ultimi valori disponibili fino al 2016 mostravano un trend in aumento, mentre il valore stimato per le misure eseguite nel mese di luglio 2020, di circa 150 t/d, risulta tra i valori più bassi misurati nell'area. Le misure successive mostrano un aumento dei valori fino a ~800 t/d, in linea con il trend d'aumento mostrato fino al 2016; le ultime misure confermano il flusso di CO₂ emesso dall'area, con un valore di ~450 t/d stimato per il mese di marzo 2022 (Fig. 5.1.2).

5.2 Monitoraggio Termico ad Immagine – Stazione ANTN

La stazione ANTN della Rete Permanente di Monitoraggio Termico dei Campi Flegrei (TIRNet) acquisisce immagini all'infrarosso termico dell'area di Antiniana, compresa tra il versante esterno sud-orientale del cratere della Solfatara e il versante a sud dell'area di Pisciarelli, laddove è stata effettuata la perforazione realizzata nel contesto del Progetto Geogrid (Fig. 5.2.1).

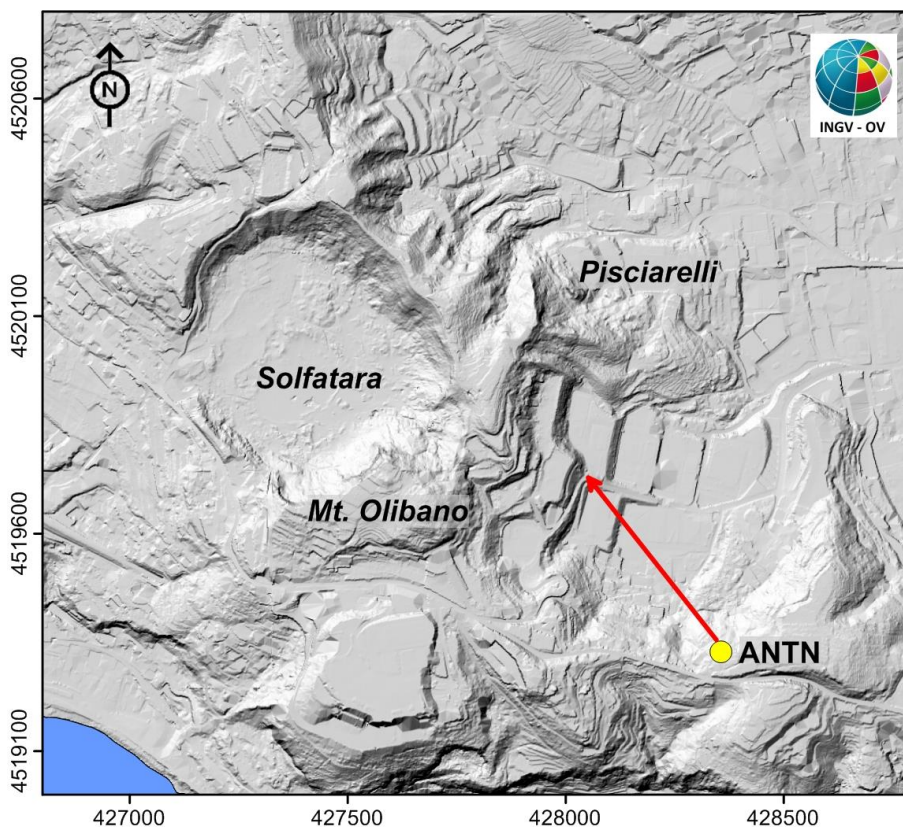


Figura 5.2.1 - Stazione ANTN. Pallino Giallo: punto di ripresa; freccia rossa: indica schematicamente l'area campionata.

Per quanto riguarda l'elaborazione dei dati acquisiti dalla stazione ANTN, il trend stagionale non è stato rimosso con l'algoritmo STL, che richiede almeno due anni di acquisizione continua, ma è stato applicato l'algoritmo empirico di destagionalizzazione denominato "BR" (Background Removal: Chiodini et al., 2007; Sansivero et al, 2013; Vilardo et al, 2015). Il risultato ottenuto è espresso in termini di residui di temperatura (dT°) e non in termini di temperatura assoluta ed è rappresentativo di una zona circoscritta interessata dal maggiore rilascio termico dell'area indagata (Fig. 5.2.2).

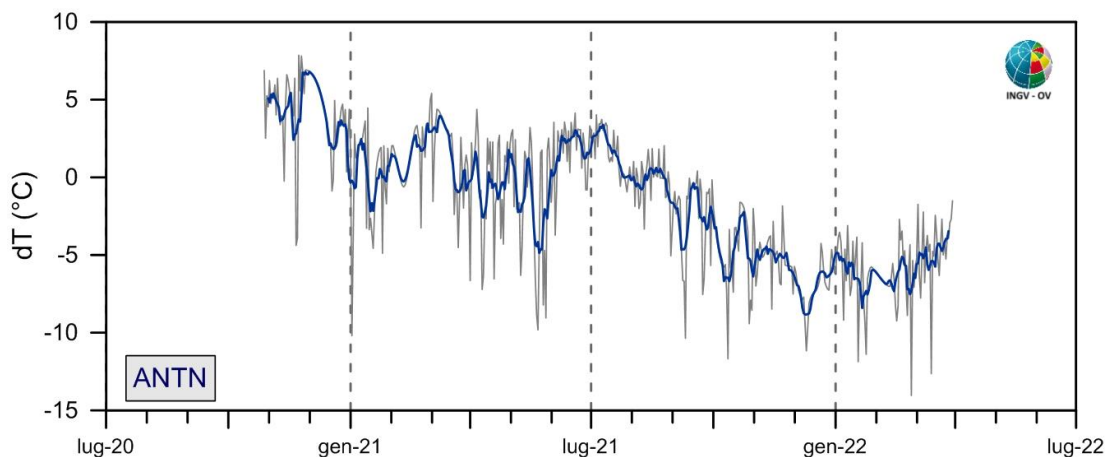


Figura 5.2.2 - Stazione ANTN. Serie temporale dei residui di temperatura massima giornaliera rilevata nelle immagini IR destagionalizzate mediante applicazione dell'algoritmo BR [serie destagionalizzata (grigio); media settimanale (blu)].

La serie temporale dei residui di temperatura (dT°) rilevati nell'area, seppure con oscillazioni di varia ampiezza e periodo, ha evidenziato nei mesi da luglio a dicembre 2021 una sensibile diminuzione. Tale diminuzione si interrompe a partire dal mese di dicembre 2021 e l'andamento attuale mostra una lieve tendenza all'aumento.

6. QUADRO DI SINTESI DELLO STATO DEL VULCANO NEL MESE DI MARZO 2022 E VALUTAZIONI

1) **SISMOLOGIA:** Nell'area dei Campi Flegrei sono stati registrati 339 terremoti ($M_{dmax}=3.6\pm 0.3$) di cui 195 localizzati prevalentemente tra Pozzuoli, Astroni, l'area Solfatara-Pisciarelli-Agnano e il Golfo di Pozzuoli con profondità concentrate nei primi 2 km e profondità massima di circa 3.7 km.

Il terremoto di $M_d=3.6 (\pm 0.3)$ del 29/03/2022 alle 17:45 UTC risulta, attualmente, l'evento di maggiore energia registrato a partire dalla ripresa di questa fase bradisismica iniziata nel 2005, ma è anche l'evento più energetico registrato dal 1985

2) **DEFORMAZIONI:** Il valore medio della velocità di sollevamento nell'area di massima deformazione da dicembre 2021 è di circa 13 ± 2 mm/mese. Il sollevamento registrato alla stazione GPS di RITE è di circa 93.5 cm da novembre 2005 di cui circa 60 cm da gennaio 2016.

L'orientazione dei vettori tilt per le stazioni in pozzo mostra un pattern polarizzato lungo 2 direzioni ortogonali, NNW e ENE, generato dal campo di deformazione connesso alla fase di uplift che interessa l'area.

3) **TERMOGRAFIA:** L'analisi delle serie temporali dei valori massimi di temperatura dell'area campionata della Solfatara evidenzia un andamento sostanzialmente stabile. A Pisciarelli, dopo la repentina e decisa diminuzione dei mesi precedenti, le temperature misurate sembrano stabilizzarsi, seppur in presenza di oscillazioni di varia ampiezza e periodo.

Le misure con termocamere mobili effettuate in diversi punti nell'area dei Campi Flegrei mostrano andamenti stabili.

4) **GEOCHIMICA:** La composizione delle fumarole e i parametri monitorati indicano il perdurare dei trend pluriennali di riscaldamento e pressurizzazione del sistema idrotermale che ha raggiunto un massimo nel luglio 2020, per poi invertirsi per i campioni degli ultimi mesi, incluso il mese di marzo 2022. Il carattere maggiormente riducente delle emissioni gassose, rilevato negli ultimi mesi, è probabilmente dovuto a processi di condensazione del vapore in risposta all'aumento di pressione del sistema idrotermale. Il flusso di CO₂ stimato per l'intera area della Solfatara è pari a circa 3000 t/d.

Nella Figura 6.1 sono rappresentati i parametri di monitoraggio più indicativi in un confronto temporale a breve e medio termine.

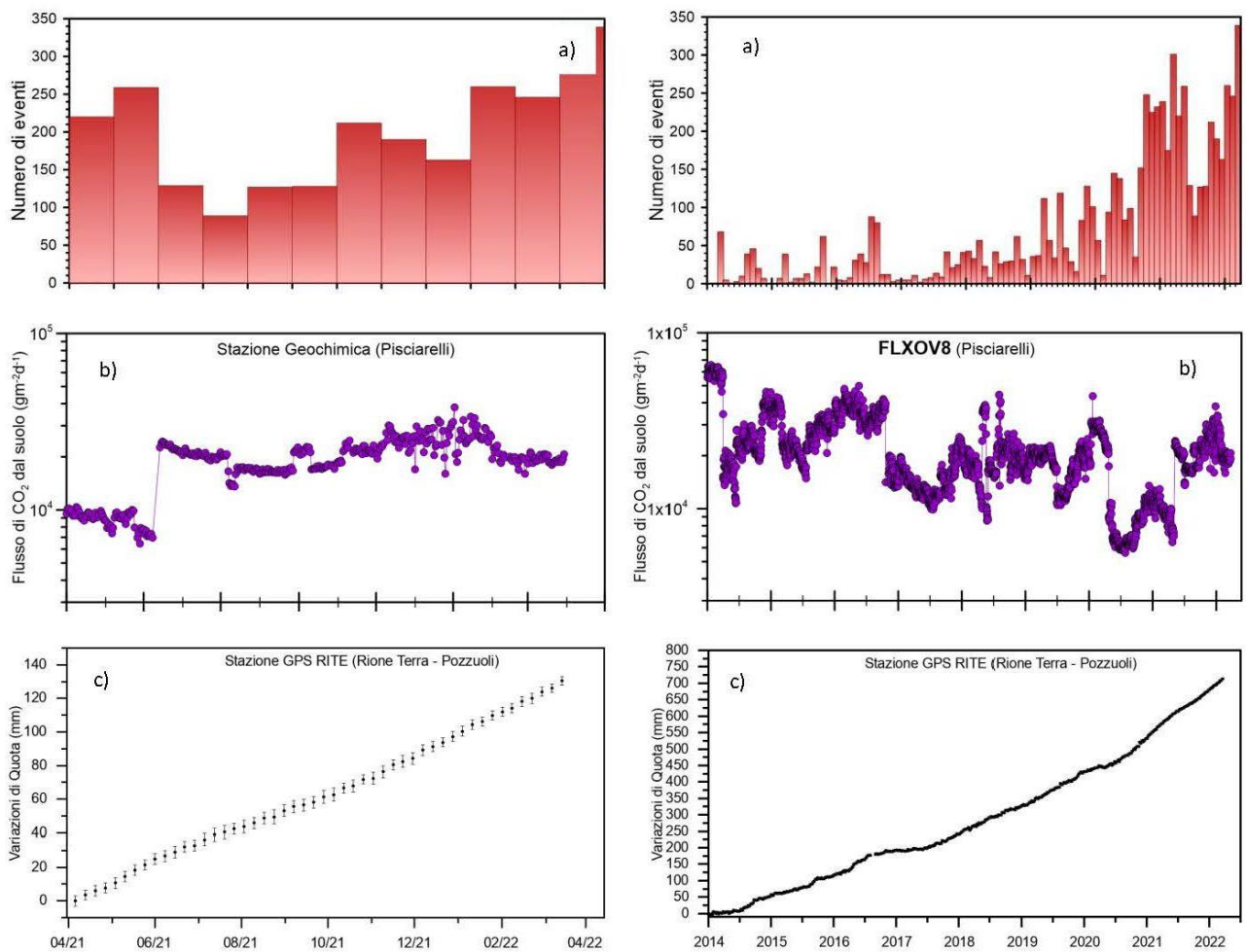


Figura 6.1 – Frequenza di accadimento degli eventi sismici (a), variazioni del flusso di CO₂ alla stazione geochimica di Pisciarelli (b) e andamento delle deformazioni del suolo alla stazione GPS di RITE (c) negli ultimi dodici mesi (a sinistra) e dal 2014 (a destra).

Sulla base dell'attuale quadro dell'attività vulcanica sopra delineato, non si evidenziano elementi tali da suggerire significative evoluzioni a breve termine.

N.B. Eventuali variazioni dei parametri monitorati possono comportare una diversa evoluzione degli scenari di pericolosità sopra descritti.

Il monitoraggio dell'area flegrea permane al livello di "Attenzione".

Bibliografia

- Berrino, G., Rymer, H., Brown, G. C., & Corrado, G. (1992). Gravity-height correlations for unrest at calderas. *Journal of volcanology and geothermal research*, 53(1-4), 11-26.
- Caliro S., Chiodini G., Moretti R., Avino R., Granieri D., Russo M. and Fiebig J. (2007) The origin of the fumaroles of La Solfatara (Campi Flegrei, South Italy). *Geochimica et Cosmochimica Acta* 71, 3040-3055. doi:10.1016/j.gca.2007.04.007.
- Caliro S., Chiodini G., and Paonita A. (2014) Geochemical evidences of magma dynamics at Campi Flegrei (Italy). *Geochim. Cosmochim. Acta* 132, 1-15. doi:10.1016/j.gca.2014.01.021.
- Chiodini, G., G. Vilardo, V. Augusti, D. Granieri, S. Caliro, C. Minopoli, and C. Terranova (2007) Thermal monitoring of hydrothermal activity by permanent infrared automatic stations: Results obtained at Solfatara di Pozzuoli, Campi Flegrei (Italy). *J. Geophys. Res.*, 112, B12206, doi:10.1029/2007JB005140
- Chiodini, G. (2009), CO₂/CH₄ ratio in fumaroles a powerful tool to detect magma degassing episodes at quiescent volcanoes., *Geophys. Res. Lett.*, doi: [10.1029/2008GL036347](https://doi.org/10.1029/2008GL036347)
- Chiodini, G., S. Caliro, C. Cardellini, D. Granieri, R. Avino, A. Baldini, M. Donnini and C. Minopoli (2010), Long-term variations of the Campi Flegrei, Italy, volcanic system as revealed by the monitoring of hydrothermal activity, *J. Geophys. Res.*, 115, B03205, doi:10.1029/2008JB006258.
- Chiodini, G., R. Avino, S. Caliro, C. Minopoli (2011) Temperature and pressure gas geoindicators at the Solfatara fumaroles (Campi Flegrei). *Annals Geophysics*, 54, 2. doi: 10.4401/ag-5002
- Chiodini G., Caliro S., De Martino P., Avino R. and Gherardi F. (2012). Early signals of new volcanic unrest at Campi Flegrei caldera? Insights from geochemical data and physical simulations. *Geology*, doi:10.1130/G33251.1
- Chiodini G., Vandemeulebrouck J., Caliro S, D'Auria L., De Martino P, Mangiacapra A., Petrillo Z. (2015a) Evidence of thermal driven processes triggering the 2005-2014 unrest at Campi Flegrei caldera. *Earth Planet. Sci. Lett.* 414, 58–67. doi:10.1016/j.epsl.2015.01.012
- Chiodini G., Pappalardo L., Aiuppa A. and Caliro S. (2015b) The geological CO₂ degassing history of a long-lived caldera. *Geology*. doi:10.1130/G36905.1
- Chiodini G., Paonita A., Aiuppa A., Costa A., Caliro S., De Martino P., Acocella V. and Vandemeulebrouck J. (2016) Magmas near the critical degassing pressure drive volcanic unrest towards a critical state. *Nat. Commun.* 7, 13712. doi: 10.1038/ncomms13712
- Chiodini G., Caliro S., Avino R., Bini G., Giudicepietro F., De Cesare W., Ricciolino P., Aiuppa A., Cardellini C., Petrillo Z., Selva J., Siniscalchi A., Tripaldi S. (2021) Hydrothermal pressure-temperature control on CO₂ emissions and seismicity at Campi Flegrei (Italy). *J. Volcanol. Geotherm. Res.* 414 (2021) 107245. doi:10.1016/j.jvolgeores.2021.107245.
- Cleveland, R.B., Cleveland, W.S., McRae, J.E., and Terpenning, I., (1990). STL: A seasonal-trend decomposition procedure based on loess: *Journal of Official Statistics*, v. 6, p. 3–73.
- Cusano P., Petrosino S. and Saccorotti G. (2008) Hydrothermal origin for sustained Long-Period (LP) activity at Campi Flegrei Volcanic Complex, Italy. *J. Volcanol. Geotherm. Res.* doi:10.1016/j.jvolgeores.2008.07.019.
- D'Amore F. and Panichi C. (1980) Evaluation of deep temperatures of hydrothermal systems by a new gas geothermometer. *Geochim. Cosmochim. Acta* 44, 549-556.
- D'Auria, L., Giudicepietro, F., Aquino, I., Borriello, G., Del Gaudio, C., Lo Bascio, D., Martini, M., Ricciardi, G. P., Ricciolino, P., and Ricco, C. (2011), Repeated fluid-transfer episodes as a mechanism for the recent dynamics of Campi Flegrei caldera (1989–2010), *J. Geophys. Res.*, 116, B04313, doi:10.1029/2010JB007837.

- Giudicepietro F., Chiodini G., Caliro S., De Cesare W., Esposito A. M., Galluzzo D., D. Lo Bascio, G. Macedonio, M. Orazi, P. Ricciolino, and J. Vandemeulebrouck. (2019). Insight into Campi Flegrei Caldera Unrest through seismic tremor measurements at Pisciarelli Fumarolic Field. *Geochemistry, Geophysics, Geosystems*, 20, 5544–5555. <https://doi.org/10.1029/2019GC008610>.
- Giudicepietro, F., Chiodini G., Avino R., Brandi G., Caliro S., De Cesare W., Galluzzo D., Esposito A., La Rocca A., Lo Bascio D., Obrizzo F., Pinto S., Ricci T., Ricciolino P., Siniscalchi A., Tramelli A., Vandemeulebrouck J. and Macedonio G. (2020). Tracking Episodes of Seismicity and Gas Transport in Campi Flegrei Caldera Through Seismic, Geophysical, and Geochemical Measurements, *Seismol. Res. Lett.* XX, 1–11, doi: 10.1785/022020022
- Ricco, C., Aquino, I., Borgstrom, S.E. and Del Gaudio, C. (2013) 19 years of tilt data on Mt. Vesuvius: State of the art and future perspectives. *Ann. Geophys.* 2013, Vol. 56 n. 4.
- Ricco, C., Petrosino, S., Aquino, I., Del Gaudio, C. and Falanga, M. (2019) Some Investigations on a Possible Relationship between Ground Deformation and Seismic Activity at Campi Flegrei and Ischia Volcanic Areas (Southern Italy). *Geosciences*. 2019, Vol. 9 Pag. 1-24. ISSN:2076-3263.
- Sansivero F., Scarpato G. and G. Vilardo (2013). The automated infrared thermal imaging system for the continuous long-term monitoring of the surface temperature of the Vesuvius crater. *Annals of Geophysics*, 56, 4, S0454; doi:10.4401/ag-6460.
- Silvestri M., Diaz J.A., Marotta E., Dalla Via G., Bellucci Sessa E., Caputo T., Buongiorno M.F., Sansivero F., Musacchio M., Belviso P., Carandente A., Peluso R., Nave R., Vilardo G., Doumaz F. and E. Corrales (2017). The 2016 field campaign of la Solfatara volcano: monitoring methods and instruments for volcanic surveillance. *Rapporti Tecnici INGV*, ISSN 2039-7941, Anno 2017, Numero 380.
- Tamburello G., S. Caliro, G. Chiodini, et al. (2019). Escalating CO₂ degassing at the Pisciarelli fumarolic system, and implications for the ongoing Campi Flegrei unrest, *Journal of Volcanology and Geothermal Research*, <https://doi.org/10.1016/j.jvolgeores.2019.07.005>.
- Vilardo G., Sansivero F. and G. Chiodini (2015). Long-term TIR imagery processing for spatiotemporal monitoring of surface thermal features in volcanic environment: a case study in the Campi Flegrei (Southern Italy). *J. Geophys. Res. - Solid Earth*, 120 (2), 812-826, doi:10.1002/2014JB011497.

Responsabilità e proprietà dei dati

L'INGV, in ottemperanza a quanto disposto dall'Art.2 del D.L. 381/1999, svolge funzioni di sorveglianza sismica e vulcanica del territorio nazionale, provvedendo alla organizzazione della rete sismica nazionale integrata e al coordinamento delle reti sismiche regionali e locali in regime di convenzione con il Dipartimento della Protezione Civile.

L'INGV concorre, nei limiti delle proprie competenze inerenti la valutazione della Pericolosità sismica e vulcanica nel territorio nazionale e secondo le modalità concordate dall'Accordo di programma decennale stipulato tra lo stesso INGV e il DPC in data 2 febbraio 2012 (Prot. INGV 2052 del 27/2/2012), alle attività previste nell'ambito del Sistema Nazionale di Protezione Civile. In particolare, questo documento, redatto in conformità all'Allegato A del suddetto Accordo Quadro, ha la finalità di informare il Dipartimento della Protezione Civile circa le osservazioni e i dati acquisiti dalle reti di monitoraggio gestite dall'INGV su fenomeni naturali di interesse per lo stesso Dipartimento.

L'INGV fornisce informazioni scientifiche utilizzando le migliori conoscenze scientifiche disponibili; tuttavia, in conseguenza della complessità dei fenomeni naturali in oggetto, nulla può essere imputato all'INGV circa l'eventuale incompletezza ed incertezza dei dati riportati e circa accadimenti futuri che differiscano da eventuali affermazioni a carattere previsionale presenti in questo documento. Tali affermazioni, infatti, sono per loro natura affette da intrinseca incertezza.

L'INGV non è responsabile dell'utilizzo, anche parziale, dei contenuti di questo documento da parte di terzi, e/o delle decisioni assunte dal Dipartimento della Protezione Civile, dagli organi di consulenza dello stesso Dipartimento, da altri Centri di Competenza, dai membri del Sistema Nazionale di Protezione Civile o da altre autorità preposte alla tutela del territorio e della popolazione, sulla base delle informazioni contenute in questo documento. L'INGV non è altresì responsabile di eventuali danni arrecati a terzi derivanti dalle stesse decisioni.

La proprietà dei dati contenuti in questo documento è dell'INGV. La diffusione anche parziale dei contenuti è consentita solo per fini di protezione civile ed in conformità a quanto specificatamente previsto dall'Accordo Quadro sopra citato tra INGV e Dipartimento della Protezione Civile.